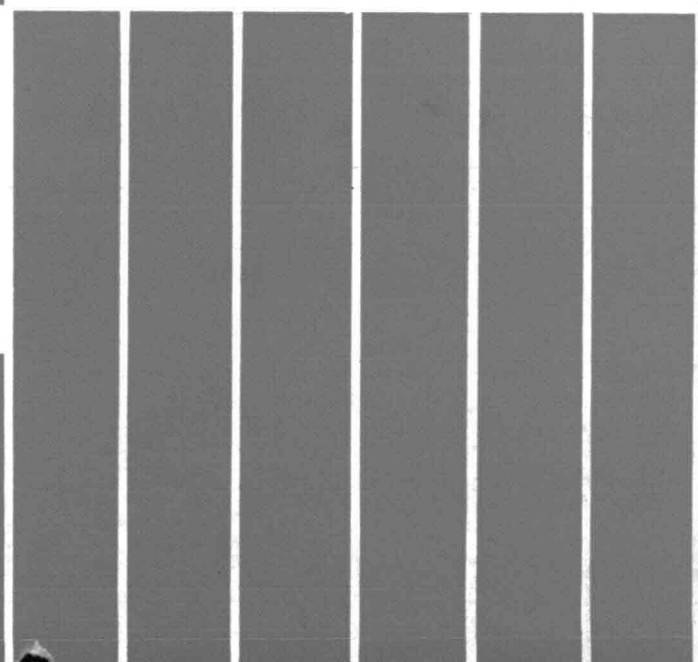


De invloed van cilinders in een
aanstroomgoot van een
Venturi - goot

A A Kranenburg R 1974-7-D



Vloeistofmechanica

Afd. Weg- en Waterbouwkunde

Technische Hogeschool Delft

Verslag
van het
laboratorium Onderzoek

maar

De invloed van cilinders op een waterstroom in een goot
en

de invloed van cilinders op de stuwhoogtemeting
voor een Nieuwriggoot als de cilinders in de
aanvoerboot staan.

R 1974 - 7 - D

A. A. Kramenburg
Oude Delft 251
Delft

015 - 135681.

Inhoudsopgave

Inhoudsopgave

lijst van grafieken

lijst van tabellen

lijst van toegepaste symbolen

Samenvatting

Hoofdstuk I. Inleiding

I - 1. Plaatsing

I - 2. Keuze uit meet- en bemonsteringsapparatuur

I - 2 - 1. Apparatuur s.b.v hoeveelheidsmeting

I - 2 - 2. Bemonsterings apparaatuur

I - 3. De plaats van bemonsteringsapparatuur i.w.m een representatief monster

I - 3 - 1. De plaats in de meetpus.

I - 3 - 2. De plaats in de meetgoot.

I - 4. Probleemstelling en inleiding tot onderzoek.

Hoofdstuk II. Algemene beschouwingen.

II - 1. Afleiding van de vergelijkingen

II - 2. Theoretische benadering.

Hoofdstuk III. Opstelling en meetprogramma.

III - 1. Opstelling

III - 2. Meetprogramma

Hoofdstuk IV. Berekening en Resultaten.

IV - 1. Bepaling van het verval van het water s.g.v. de cilinders en berekening van C_d' .

IV - 2. Invloed van cilinders in de aanvoergoot van een kundus.

Hoofdstuk V. Discussie.

V - 1. Invloed van de verhouding $\frac{d}{B}$ op de verhouding $\frac{D-d}{h_1}$ en op de "stuwdruk coëfficiënt" C_d' .

V - 2. Invloed van $\frac{v_1^2}{2g}$ op $\frac{D-d}{h_1}$, bij constante $\frac{d}{B}$.

II - 3. De invloed van cilinders in de aanvoergoot van een Venturi-goot op de stuwhoogte.

Hoofdstuk III Konklusies

Hoofdstuk VII Aanbevelingen.

Literatuurlijst

Bijlagen

- I Berekening van U_1 , $\frac{A_1 - A'}{A_1}$ en C_d uit de meetresultaten van de proeven vermeld onder III - 2, waarbij de hoogtemeting is uitgevoerd met een peilstaaf voor de cilinder en met een statische buis achter de cilinder
- II Berekening van U_1 , $\frac{A_1 - A'}{A_1}$, C_d en $\frac{A_{ch}}{A_1}$ uit de meetresultaten van de proeven, waarbij de hoogtemeting uitgevoerd is met een peilstaaf en het verval met een microvervalmeter.
- III Programma's voor een terminal voor de berechtingen in bijlagen 1 en 2

Lijst van grafieken.

1. Q - h kromme van de Venturi-goot.
2. Verband tussen V en C als $B = 0,4m$ en $a_g = 2 \times 10^{-5} m$ voor 4 stuwhoogten.
3. Verband tussen $\frac{\Delta'}{h_1}$ en $\frac{V_1^2}{gh_1}$ m. b. t. de wijziging in de goot.
- 4 tm 8 Verband tussen $\frac{\Delta - \Delta'}{h_1}$, resp. $\frac{\Delta h}{h_1}$ en $\frac{V_1^2}{gh_1}$ voor 1^e serie metingen.
- 9 tm 12 Verband tussen $\frac{\Delta - \Delta'}{h_1}$, resp. $\frac{\Delta h}{h_1}$ en $\frac{V_1^2}{gh_1}$ voor 2^e serie metingen.
- 13 tm 15 Verband $\frac{\Delta d}{B}$ en $h_1 = \frac{V_1^2}{gh_1}$ voor resp. $\frac{d}{B} = 0,05$, $0,096$ en $0,45$.
- 16 Verband tussen $\frac{\Delta d}{B}$ en $\frac{d}{B}$
- 18 tm 25 Q - h kromme rondom 8 stuwhoogtes van de Venturi-goot en lijnen van percentage afwijkingen.
- 26 tm 30 A. Verband tussen $h_{0,25}$ onder en $h_{0,25}$ rondom minus $h_{0,25}$ met cylinder.
- 26 tm 30 B. Verband tussen $h_{0,25}$ onder en $h_{2,20}$ mes minus $h_{2,20}$ onder cylinder.
- 26 tm 30 C. Verband tussen $h_{0,25}$ onder en $h_{2,20}$ minus $h_{0,25}$ onder cylinder.
- 31 Afwijking van Q in % bij $h_{2,20}$ met cylinder t.o.v. Q van $h_{2,20}$ ongerede in relatie tot $\frac{d}{B}$ voor de vijf plaatsen van de cylinders in de aanvoer-goot.
- 32 Afwijking van Q in % bij $h_{0,25}$ met cylinder t.o.v. $h_{0,25}$ onder cylinder in relatie tot $\frac{d}{B}$ voor de vijf plaatsen van de cylinders in de aanvoer-goot.

Lijst van tabellen

- I De afvoer Q van de Venturi-goot met bijbehorende stuwhoogten.
- II De afvoer Q met bij behorende stuwhoogte $h_{0,25}$ rondom 8 stuwhoogten.
- III Berekening van de weerstandscoëfficiënten van Chenu.
- IV a $h_{2,20}$ en $h_{0,25}$ en Q voor de 8 stuwhoogten.
- IV b $h_{2,20}$ en $h_{0,25}$ en Q als de cylinders op vijf plaatsen in de aanvoer-goot staan.
- V Berekening van de afwijking van Q in % van $h_{2,20}$ mes t.o.v. Q behorende bij $h_{2,20}$ onder cylinder.
- VI Berekening van proc. afw. van Q van $h_{0,25}$ mes t.o.v. Q van $h_{0,25}$ onder cylinder.

Lijst van symbolen

	eenheid
B = breedte van de goot	m
b = breedte van de keel van de verstraling	m
d = diameter van de cylinder	m
Q = afvoer in m^3/s	$\frac{m^3}{s}$
h_1 = waterhoogte op 0,60 m voor de cylinder (dsn I)	m
h_2 = waterhoogte op 0,80 m achter de cylinder (dsn II)	m
v_1 = snelheid van het water in de goot op 0,60 m voor cylinder	$\frac{m}{s}$
g = versnelling van de zwaartekraal	m/s^2
ρ = soortelijke massa	kg/m^3
N = kinematische viscositeit	$\frac{m^2}{s}$
R = hydraulische straal	m
a_s = wandruwheid volgens Strickler	m
F_r = getal van Froude (v_1/R)	
C = weerstands coëfficiënt van Chézy	$\frac{m^2}{s}$
I = verhang van het wateroppervlak in de goot.	
Δ = het gemeten verval tussen dsn I en dsn II	m
Δ' = het berekende verval in de goot tussen dsn I en dsn II Afv. de trilling	m
Δ_{th} = het berekende verval in de goot tussen dsn I en dsn II Afv. de cylinder	m
C_d = drukcoëfficiënt	
C'_d = de berekende „drukcoëfficiënt“ Afv. $\Delta - \Delta'$ vooroorzaakt door de cylinder in de goot.	

Samenvatting.

Dit laboratoriumonderzoek is één van de opdrachten in het laatste jaar voor het ingenieursexamen aan de afdeling Weg- en Waterbouwkunde.

Het omvat eerstelijk een onderzoek naar de invloed van cilinders op een watersbroom in een goot.

Anderzijds is een onderzoek gedaan naar de invloed van cilinders op de stuwhoogtemeting, cq. afvoer voor een Vierseni-goot als deze cilinders van verschillende diameters in de aanvoer-goot staan.

Dinds het in werking brengen van de lidt op de verontreiniging van oppervlaktewateren, worden aan veel afvalwatersstromen hoeveelheidsmetingen gedaan om in verband met de heffingen op het boren van afvalwater de stable hoeveelheid per jaar te bepalen. Om de graad van verontreiniging te weten te komen worden er van deze afvalwatersstromen monsters genomen, die verder geanalyseerd worden.

Dit onderzoek beperkt zich ten aanzien van het meten van afvalwatersstromen tot de meetputten met meesschotten en open meesgoden en ten aanzien van de bemonstering tot het bemonsteringsapparaat van het type "Eeleball".

Mit de discussie groep "Meets- en bemonsteringsapparatuur" is de vraag naer voren gekomen: Wat is de plaats voor dit bemonsteringsapparaat in meetputten of meesgoden nadat ten aanzien van de hoeveelheidsmeting en de proportionaliteit van de grootte van het monster d.o.v. de afvoer op het moment van monsterning de afwijkingen minimaal zijn met betrekking tot de werkelijkheid? Om hier een antwoord op te krijgen is het bemonsteringsapparaat vervangen door een serie cilinders met verschillende

diameters om langs deze weg de invloed te bepalen van de verhouding tussen de diameter van het apparaat en de breedte van de goot, waarin deze geplaatst zal worden, op de stuwhoogtemeting van de Venturi.

Het de proeven is gebleken dat het verval, uitgedrukt in procenten van de waterhoogte voor de cylinder, tussen 2 plaatsen, die respectievelijk voor en achter de cylinder genomen zijn, groter wordt naarmate de verhouding tussen de diameter van de cylinder en de breedte van de goot groter wordt evenals bij een toename van het getal van Froude.

Vervolgens zijn op diverse afstanden voor de versmalling in de aanvoergoot van een Venturi-goot de vijf cyclinders geplaatst om bij een aantal stuwhoogten de invloed van de cyclinders op deze stuwhoogten na te gaan.

Dit om een inzicht te krijgen hoe groot de afwijking in de afvoer, behorende volgens de $Q = h$ formule van de Venturi-goot bij de gemeten stuwhoogte, ten opzichte van de werkelijkheid is. Hieruit is gebleken dat de fout in de afvoer, afgeleid van de gemeten stuwhoogte l.o.v. de werkelijke afvoer minimaal is als aan de eis voor Venturi-goten voldaan wordt, nl dat tot op een afstand van 10 maal de breedte van de goot vanaf de versmalling in de aanvoergoot geen verstoringen aanwezig zijn.

Tevens is gebleken dat het verschil in waterhoogten tussen die aan het begin van de aanvoergoot voor het bemontseringsapparaat en die voor de versmalling van de Venturi-goot minimaal is als het bemontseringsapparaat eveneens op een afstand van $10 \times$ de breedte van de goot q voor de versmalling geplaatst wordt.

Hoofdstuk I. Inleiding

I-1. Plaatsing.

In de wet op verontreiniging van oppervlakkse wateren (WVO), die in 1970 in werking is getreden, is in het uitvoeringsbesluit van deze wet een nauwkeurigheidsclis gesteld van ± 5% met betrekking tot het meten en benoemsteren van de afvalwaterstromen, die door bedrijven en instellingen op het oppervlakse water geloosd worden.

Voor het vaststellen van de vervuilingswaarde ten behoeve van de heffingen in gevolge de boven genoemde wet is het nodig een grondige kennis te verkrijgen van de afvalwaterstromen naar kwaliteit en hoeveelheid. (tabel 2)

Merkal is het niet mogelijk de kwaliteit en hoeveelheid van afvalwaterstromen nauwkeurig te voorspellen of uit b.v. productieprocessen in de industrie en uit waterverbruiken nauwkeurig af te leiden. Daarom zal in de meeste gevallen slechts achteraf door meting en benoeming het afvalwater kunnen worden gekwalificeerd en gekwantificeerd.

Bij de bepaling van de kwaliteit is vooral het boringspatroon van belang, dat in de afgewende hoeveelheid per tijds eenheid en de variaties daarin, beheken gedurende een etmaal, een week of een maand.

Voor de bepaling van de kwaliteit moeten er monsters uit het afvalwater genomen worden. Deze monsters moeten dan op diverse parameters onderzocht worden, zoals gehalten aan diverse opgeloste stoffen, de concentraties aan gesolubiliseerd en zwevend materiaal, de slurryende en bewerkbare stoffen.

Als men genoodzaakt is de milieubelastende stoffen en de hoeveelheid daarvan te bepalen met behulp van meting en bemontsen van de afvalwaterstromen, dan is het wenselijk, dat de uitkomsten die hiervan verkregen worden, zo goed mogelijk overeenstemmen met de werkelijkheid. Daarom zal de keuze van de meetapparatuur s. b.v. de hoeveelheidsmeting sterk afhangen van het looppasroon van de afvalwatersdroom en de keuze van de monitormeetapparatuur bepaald worden door de soort afvalwater.

I - 2 Keuze uit meet en bemontseringsapparatuur.

I - 2 - 1 Apparatuur s. b.v. hoeveelheidsmeting.

Het meten van de afvalwater debieten in de afvoersystemen bij bedrijven kan op diverse wijzen geschieden.

- a Voor gesloten kanaalafvoeren kunnen de meetflensmeting, Venturi-buis-meting, de Pitotbuis-meting, de induktieve stroommeting of de ultrasonore stromingsmeting toegepast worden.
- b Voor openkanaalafvoeren kan de keus gemaakt worden uit meesschotten, zoals het Thomson-schot (V-vormig) en het Lipoletti-schot (trapèzium-vormig), of moet gaten als de Venturi-goot of de Parshall-goot.

In het kader van dit onderzoek zullen we de methoden voor debietmeting voor gesloten kanaalafvoeren verder buiten beschouwing laten en ons beperken tot een korte samenvatting van de eigenschappen van en de eisen, die gesteld worden aan meesschotten en meetgaten.

Bij de bepaling van het afvalwaterdebit bij deze systemen wordt voor het meetschot of de vernauwing de stuwhoogte gemeten s.o.v. de stempel van het schot of van de vernauwing.

In future, we can do nothing apart from research
that is based on the definition of our soul's intelligence
and good memory.

After this, along with the help of man and his own grace following all
these things, we can move forward by following our own path of education

I - 2 - 2 Elements of Education (Part 4)

of our life.

The other factor is also 150 m³ for Lipotid. According to me
great importance is given to education. In this school it is made
to teach more for the welfare and happiness of society rather than the
(in which people go to school for their welfare)

than modesty but also for learning - good behaviour and
the mind full of learning operation. This is the best part of it,
so it is very difficult to get such a school in our country.
Now 53° 8' in 3 dm 44 cm 3/4 by an open ended vessel
of diameter about 15 - 20 m³ by an open ended vessel
which is also a moderately well known technique and much less
drawn in other areas than no second generation.

Any form of sacrifice can be done at the end of the day to do the same work
in the form of human sacrifice for the welfare of all mankind for afternoon
work.

Now the best way to do the work
and then it is to be summarized in the A.O. or the modality
located in a community different from 6 days, located on
all other forms such as tea etc. the following multiple form the
most for I.S.O. registered no. 1488 (3)

modestly, moderately, etc. etc. In India - good work can be
done before us many days. as seen in the following form of
the above is often used in the following form of
 $f(x) = g(x)$

Op het uitvoeringsbesluit van de WVO wordt gesteld: „De bemonstering zal zodanig moeten geschieden dat een monster verkregen wordt, dat in voldoende mate representatief is voor de totale hoeveelheid afvalstoffen, die afgeworpen worden.”

Afhankelijk van het losingspatroon en de graad van verontreiniging zal de grootte van het monster en de frequentie van de bemonstering bepaald moeten worden.

Er zijn verschillende mogelijkheden, waarop te werk gegaan kan worden. Bijvoorbeeld meting van de totale hoeveelheid per tijds eenheid (bv. per dag) en bemonstering (bv. $\frac{1}{4}$ l illumaal per half uur). Deze methode kan aanleiding geven tot fouten bij sterke wisseling in grootte van debiet en verontreiniging. Een andere mogelijkheid is dat de grootte van het monster proportioneel is aan de afgeworpte hoeveelheid. Een voorbeeld hiervan is het fietswiel, waaraan balsjes gemonteerd zijn. Het gehulde voorstel in de aanvoer goed van een Stenturi-goot geplaatst. Door de stroming zal het wiel gaan draaien en de balsjes geleidigd worden. Als de stroom snelheid groter wordt, zal het wiel sneller gaan draaien en meer monsters per tijds eenheid nemen. heel invloeden als bv. wind of verontreiniging kunnen een totaal monster over langere tijd zodanig beïnvloeden dat er geen sprake meer is van een representatief monster.

De Heren Fler en Balsjes (lit. 5) hebben een bemonsteringsapparaat ontwikkeld, dat een groot aantal bewaren onderzoeken. Dit apparaat bestaat uit een hielvormig meetvat, dat met de opening naar beneden in een afvalwaterstroom geplaatst wordt, zodanig dat bij een afvoer ⌀ juist geen water binnenstrekt. Het meetvat heeft een zodanige inwendige vorm, dat bij onderdompeling in de afvalwaterstroom, het monstervolume

evenredig is met het debiet op dat moment. Bij toepassing van meesschotteren of meetgaten is er verband tussen stuwhoogte en debiet. De inhoud van het meetvat bij een meesschot is voor de stuwhoogte h evenredig met $h^{\frac{5}{2}}$ en voor een standaardgat evenredig met $h^{\frac{3}{2}}$. Het monster wordt eenmaal per tijdsinterval met behulp van perslucht of stikstof uit het meetvat in een vernamevat gepersst of met behulp van vacuum in een vernamevat getogen.

Het de praktijk is gebleken dat met dit apparaat representatieve monsters kunnen worden bij afvalwater, dat min of meer homogeen van samenstelling is. Dit bemonsteringsapparaat kan echter niet bij elke soort afvalwaterstroom toegepast worden. Afwijkingen breken op bij bv. a. gelagdheid in de afvalwaterstromen t.g.v. temperatuursverschillen of verschil in dichtheid, b. vet- of olieafscheiding. Het meetvat wordt verontreinigd en het volume van het meetvat neemt af of de verontreiniging komt niet in het monster voor bv. bij opdrogen.

C Vanwegeheid van grote varie verontreinigingen. Hans op verstopping of dat de afmetingen van de verontreiniging te groot zijn dat deze niet in het monster opgenomen kunnen worden.

d In incidentele toelingen met een hoge verontreinigingsgraad kunnen plaats vinden tussen de tijden dat een monster genomen wordt.

Hijn bij zulke soorten afvalwater geen representatieve monsters te nemen, dan moeten volgens de WVO de heffingen bepaald worden volgens de tabel: Afvalwatercoëfficiënt. Is er sprake van een min of meer homogeen afvalwater dan kan het bovenbeschreven bemonsteringsapparaat: de "Fleeballs" toegepast worden.

In het hierna volgende mal alleen dit apparaat ter sprake komen en de andere bemonsteringsapparatuur buiten beschouwing gelaten worden.

De vraag is nu: wat is de beste plaats voor dit apparaat in de meetput en in de meetgoot?

I - 3 De plaats van het bemonsteringsapparaat in verband met een representatief monster.

I - 3 - 1 De plaats in de meetput.

Als de aanvoerput voldoet aan de ISO-normen mal de horizontale snelheid in de meetput kleiner zijn dan 6 cm/sec. Dan wil zeggen, dat in de gehele goot, uitgevonden door het versnellingsgebied vanaf voor het meetstuk, de waterhoogte overal gelijk is. Woraan het bemonsteringsapparaat in de nabijheid van de stuwhoogtemeting geplaatst, dan mal de grootte van het monster evenredig zijn met de gemeten afgevoerde hoeveelheid en b de invloed van het bemonsteringsapparaat op het stramingseffect in de aanvoerput bij de geringe horizontale snelheid gering en te voorwaartsoen zijn.

I - 3 - 2 De plaats in de meetgoot.

De aanvoergoot-lengte van de Venturi-goot dient volgens de ISO-normen $10 \times$ de breedte B van de goot te zijn. De ^{goot}dient recht te staan en horizontaal.

Het meetpunt van de stuwhoogte behoort gelegen te zijn op een afstand van $3\frac{1}{2} \times$ de maximale stuwhoogte voor de vernauwing in de aanvoerput.

Woraan het bemonsteringsapparaat nu in de aanvoerput

geplaatst, dan zal dit een verstoring geven van de rechte stroomlijnen in de aanvoergoot. Bovendien zal dit apparaat een extra weerstand zijn in de aanvoergoot, maar dat van de wandruwhuid. Anderzijds zal als het bemonsteringsapparaat aan het begin van de aanvoergoot geplaatst wordt een monsder getrokken worden, dat groter is dan dat wat behoort bij de gemeten waterhoogte. Dit als gevolg van het wrijvingsverlies in de aanvoergoot.

Er dient daarom gezocht te worden naar de plaats van het bemonsteringsapparaat in de aanvoergoot, die ten eerste de geringste invloed heeft op het stromingsbeeld in de Venturi-goot en de debietmeting hierin en ten tweede waar het meest proportionele monsder genomen kan worden.

I - 4 Probleemstelling en inleiding tot onderzoek.

In het voorgaande is gesproken over het meten en bemonsteren van afvalwatersstromen en de verschillende mogelijkheden daarbij. Na I - 3 - 2 blijkt dat een nauwkeurige debietmeting eisen aan de Venturi-goot stelt (nl rechte stroomlijnen), die tegengesteld zijn met die van een proportionele bemonstering met behulp van de "Fleebals." De vraag is nu: Welk een moeden prevaleren boven de andere, opdat de fouten in de debietmeting en de bemonstering minimaal zijn?

Daarbij wordt eerst onderzocht wat de invloed van de "Fleebals" is op water, wat door een rechte horizontale goot stroomt met verschillende snelheden en bij varierende waterstanden.

In plaats van de "Fleebals" worden 5 cilinders met verschillende diameters in de stroom geplaatst om de

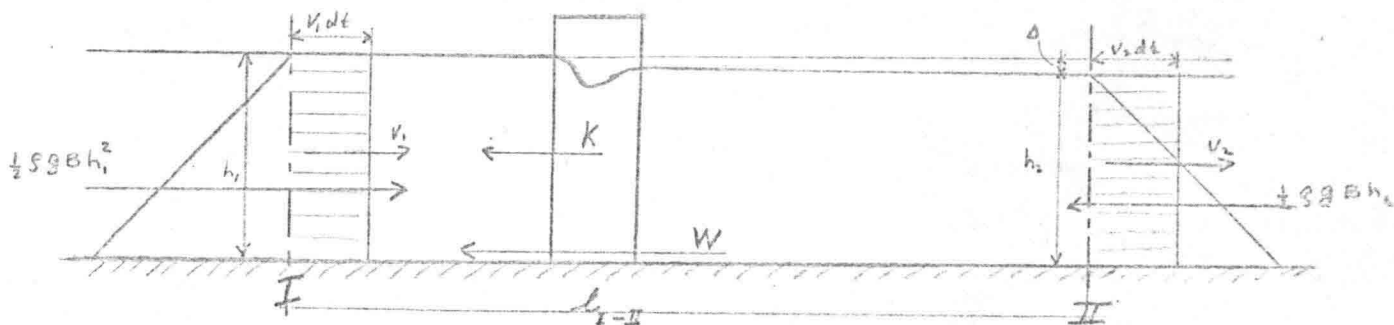
invloed van de verhouding tussen diameter d van de cilinder en de breedte B van de goot te kunnen onderzoeken. Hiervoor zal onderdoverschillende omstandigheden de hoogten op vaste plaatsen voor en achter de cilinder gemeten worden. Om de invloed van de cilinders op de debietmeting te bepalen zijn er op verschillende plaatsen in de aanvoergoot van een Venturi-goot opgesteld. Hierbij zijn bij verschillende stuwhoogten de waterhoogten gemeten aan het begin van de aanvoergoot en voor het versnellingsgebied bij de versmalling.

Hoofdstuk II. Algemene beschouwingen.

II-1. Afwijking van de vergelijkingen.

Wordt in een goot, waardoor water stroomt, een cilinder geplaatst, dan zal het verval tussen 2 punten veroorzaakt worden door de gootweerstand en de weerstand t.g.v. de cilinder in de stroom. Is er sprake van een permanente dan geldt tussen de doorsneden I en II van figuur 1 als B de breedte van de goot is, de hoeveelheid, die door de doorsnede per seconde stroomt, Q is en de waterhoogten in de dsn. I en II resp. h_1 en h_2 zijn voor de watermassa tussen dsn I en II :

$$F = \frac{d(mv)}{dt} \text{ of anders geschreven: } Fdt = d(mv) \quad (1)$$



figuur 1

$$\left(\frac{1}{2} S g h_1^2 B - \frac{1}{2} S g h_2^2 B - K - W \right) dt = S B h_2 v_2^2 dt - S B h_1 v_1^2 dt \quad (2)$$

Hierin is K de schuinkracht van de cilinder op de watermassa.

In de literatuur wordt deze kracht voorgesteld met de formule

$$K = \frac{1}{2} C_d' S v_1^2 h_1 d \quad (\text{bv. lit. 6}) \quad (3)$$

W is de wrijingskracht ten gevolge van de gootweerstand.

Noemen we $h_1 - h_2 = \Delta$, dan zal Δ voor een grote vermindering worden door de gootweerstand over de afstand tussen dsn I en II.

Staat er geen cilinder in de goot dan kan er een

benadering van W bepaald worden met de formule:

$$W = (B + 2h_1) \cdot l_{x-II} \cdot g \cdot q \cdot R \cdot I_H = l_{x-II} \cdot g \cdot q \cdot B \cdot h_1 \cdot I_H \quad (4)$$

Hierin is $I_H = \frac{V_1^2}{C^2 R}$, (lid. 7) (5)

waarin de gemiddelde C -waarde over l_{x-II} bepaald wordt met de formule van White - Colebrook:

$$C = 18 \log \frac{6R}{a + \frac{\delta}{7}} \quad \text{als } a = 0,5 \times \text{de wandruwheid } k \text{ en}$$

$$\delta = \frac{11,6 \cdot v}{\sqrt{g R I_H}} \quad \text{(lid. 7)} \quad (6)$$

In figuur 2 is een staal van duurheidsmaken a_s gegeven volgens Strickler. Hierbij geldt: $a_s = 0,274 \text{ k}$.

Dus $a = 1,025 a_s$ zodat (6) na deling van teller en noemer van de breek door 15 overgaat in:

$$C = 18 \log \frac{0,4 R}{\frac{a_s}{8} + \frac{\delta}{105}} \quad (7)$$

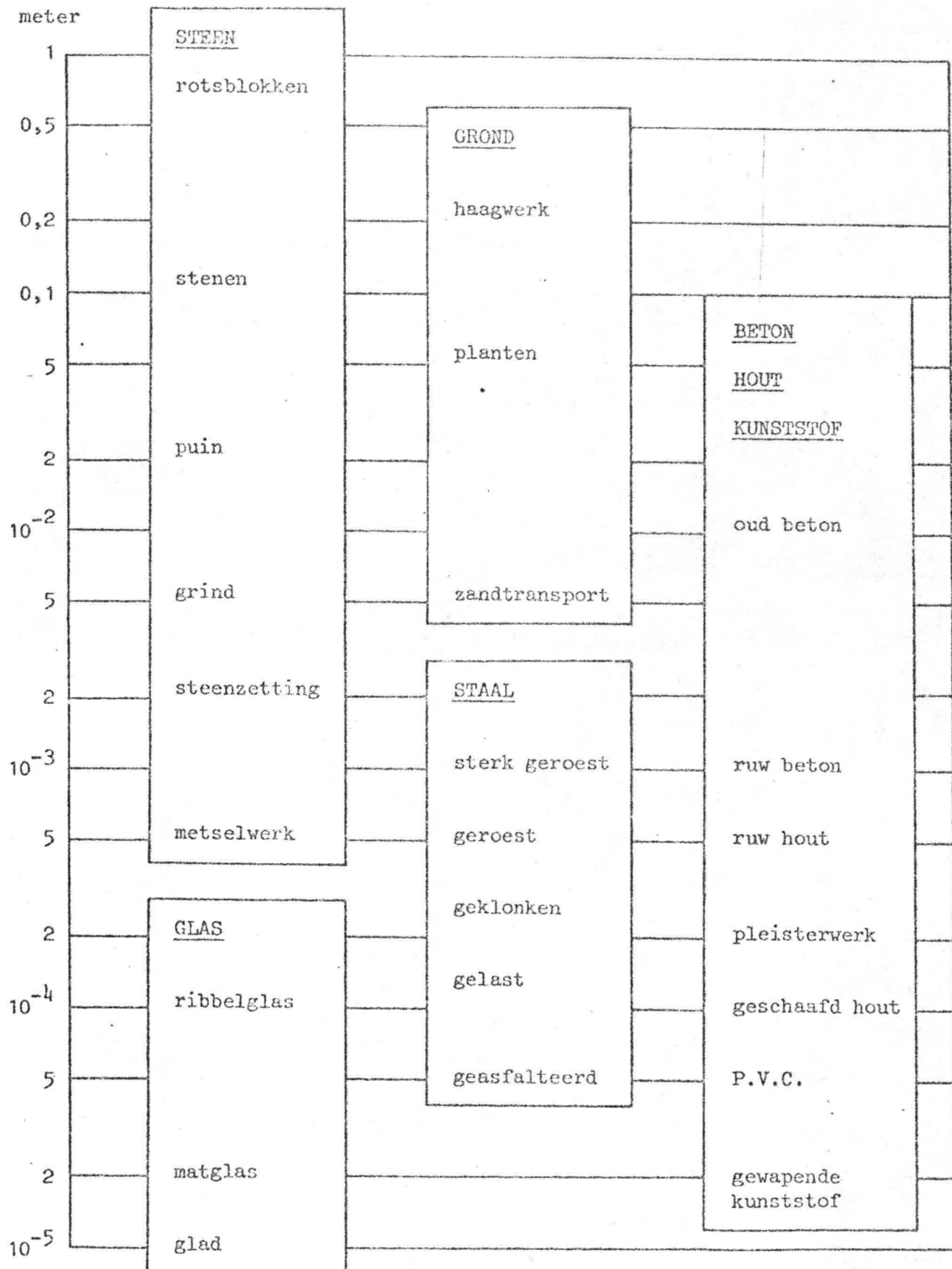
Den formule wordt aangepast bij weersstands berekeningen voor de goot, waarmee de proeven uitgevoerd zijn met $a_s = 2 \times 10^{-5}$.

Uitgaande van een gegeven R en v en een gekozen I_H is door middel van iteratie C te bepalen uit (7) en (5).

Het verval tussen de punten I en II tgv de wijziging wordt aldus geschat op $\Delta' = I_H \cdot l_{x-II}$. (8)

Dit verval over l_{x-II} tgv de gootweersand treedt op als er geen cilinders in de goot staan. Het verval over l_{x-II} tgv de gootweersand is als er een cilinder in de goot staat moeilijk te berekenen volgens de één of andere benaderingsmethode. In verband met de versnelingsgebieden voor en naast de cilinders kan niet gesproken worden over een constante C -waarde of een constante R .

Echter om toch een benadering te krijgen hoe groot het verval over l_{x-II} is tgv de cilinder, onderstelt de invloed van de gootweersand in rekening gebracht is, wordt het



figuur 2

verval over l_{I-II} t.g.v. de goed weerstand geashad met
de hierboven beschreven berechningsmethode.

Het niveauverschil tussen dan I en II als gevolg van de cylinder
in de stroom is dan $\Delta - \Delta'$.

Uit (2), (3), (4) en (8) volgt dan:

$$\frac{K}{g} = gB \left\{ 0,5 h_1^2 - 0,5(h_1 - \Delta)^2 - h_1 \Delta' \right\} + B \left\{ v_1^2 h_1 - v_2^2(h_1 - \Delta) \right\}$$

$$= gB \left\{ h_1(\Delta - \Delta') - 0,5 \Delta^2 \right\} + B \left\{ v_1^2 h_1 - v_2^2(h_1 - \Delta) \right\}$$

$$\text{en } C_d' = \frac{K}{g} \cdot \frac{1}{0,5 v_1^2 h_1 \Delta}$$

Uit de continuïteit volgt $Q = B \cdot h_1 \cdot v_1 = B(h_1 - \Delta) v_2 \Rightarrow v_2 = \frac{Q}{B(h_1 - \Delta)}$
Elimineren we $\frac{K}{g}$ en substitueren we v_2 dan wordt:

$$C_d' = \frac{g \cdot B}{v_1^2 h_1 \Delta} \left\{ 2 h_1 (\Delta - \Delta') - \Delta^2 \right\} + \frac{2B}{\Delta} - \frac{B \cdot Q^2 (h_1 - \Delta)}{B^2 (h_1 - \Delta)^2} \cdot \frac{B^2 h_1^2}{0,5 Q^2 h_1 \Delta}$$

$$C_d' = \frac{\Delta - \Delta'}{h_1} \cdot \frac{2B}{\Delta} \left\{ \frac{gh_1}{v_1^2} - \frac{0,5 g}{v_1^2} \cdot \frac{\Delta^2}{\Delta - \Delta'} \right\} - \frac{2B}{\Delta} \cdot \frac{\Delta}{h_1 - \Delta}$$

$$C_d' = \frac{\Delta - \Delta'}{h_1} \cdot \frac{2B}{\Delta} \left\{ \frac{gh_1}{v_1^2} - \frac{0,5 g}{v_1^2} \cdot \frac{\Delta^2}{\Delta - \Delta'} - \frac{\Delta}{h_1 - \Delta} \cdot \frac{h_1}{\Delta - \Delta'} \right\}$$

$$\frac{\Delta - \Delta'}{h_1} = C_d' \cdot \frac{\Delta}{2B} \left\{ \frac{\frac{gh_1}{v_1^2}}{\frac{gh_1}{v_1^2} - \frac{0,5 g \Delta^2}{v_1^2(\Delta - \Delta')}} - \frac{\Delta}{h_1 - \Delta} \cdot \frac{h_1}{\Delta - \Delta'} \right\}$$

anders geschreven:

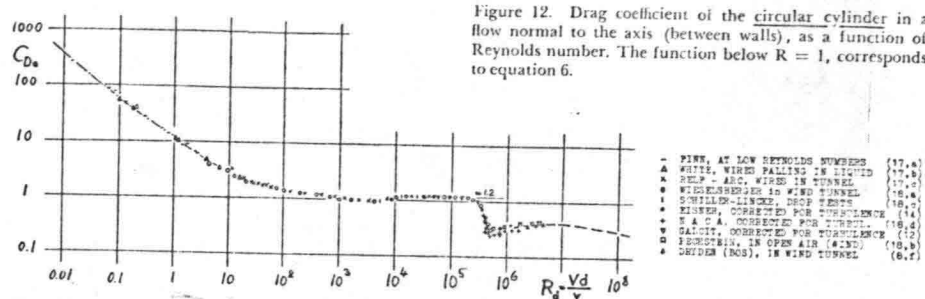
$$\frac{\Delta - \Delta'}{h_1} = C_d' \cdot \frac{\Delta}{2B} \left\{ \frac{\frac{v_1^2}{gh_1}}{1 - \frac{0,5 \cdot \Delta^2}{h_1(\Delta - \Delta')}} - \frac{v_1^2 \cdot \Delta}{gh_1(h_1 - \Delta)(\Delta - \Delta')} \right\}$$

Nu is $\frac{0,5 \Delta^2}{h_1(\Delta - \Delta')}$ klein ten opzichte van 1 en $\frac{h_1}{h_1 - \Delta} \approx 1$ zo dat bij benadering veregd kan worden:

$$\frac{\Delta - \Delta'}{h_1} \approx C_d' \cdot \frac{\Delta}{2B} \left(\frac{\frac{v_1^2}{gh_1}}{1 - \frac{\Delta}{\Delta - \Delta'} \frac{v_1^2}{gh_1}} \right)$$

II-2 Theoretische benadering

In II-1 was uitgegaan van de gemeten waarden van h_1 , h_2 en Q . Hieruit is achtereenvolgens de stuwdruk coëfficiënt C_d berekend en de waarde voor $\frac{\Delta - \Delta'}{h_1}$. Volgens Hoerner (lit 6) is $C_d = 1$ als $Re = \frac{V_d d}{\nu}$ waarvan heeft tussen 10^3 en 10^4 en $C_d = 1,18$ als $10^4 < Re < 324 \times 10^5$.



figuur 3

Er wordt hier echter alleen gesproken over een cyinder tussen wanden, maar er wordt niet gesproken over de verhouding tussen de diameter d van de cyinder en de afstand tussen de wanden.

De Stuwkracht is : $K = 0,5 g V_i^2 h_1 d$. (1)

Als gegeven zijn h_1 ; Q en de stuwdruk coëfficiënt C_d en daarbij de wrijving in de goed builen beschouwing getaken wordt, dan is de bewegingsvergelijking :

$$\frac{1}{2} S g h_1^3 B - \frac{1}{2} S g h_2^3 B - \frac{1}{2} S C_d V_i^2 h_1 d - g B h_2 V_i^2 + g B h_1 V_i^2 = 0 \quad (2)$$

of anders geschreven :

$$-0,5 g B h_2^3 + (0,5 g B h_1^2 - 0,5 C_d V_i^2 h_1 d + \frac{Q^2}{B h_1}) h_2 - \frac{Q^2}{B} = 0 \quad (3)$$

Hieruit kunnen we h_2 oplossen met behulp van een lineaire interpolatie (Regula falsi), waarbij als uitgangspunten gekozen kunnen worden $h_2 = h_1$ en $h_2 = h_1 - 0,05$.

Dan is $\Delta_{th} = h_1 - h_2$.

Tevens is $\frac{K}{g} = 0,5 g B (2h_1 \Delta_{th} - \Delta_{th}^2) + B \{ V_i^2 h_1 - V_i^2 (h_1 - \Delta_{th}) \}$

$$\text{en } V_i = \frac{Q}{B}$$

Gegeven als $R_d = \frac{K}{S} \frac{1}{0,5 \cdot V_i^2 \cdot h \cdot d}$ is:

$$C_d = \frac{g \cdot B}{V_i^2 h \cdot d} \left(2h_{\Delta_{th}} - \Delta_{th}^2 \right) - \frac{2B}{d} \cdot \frac{\Delta_{th}}{h - \Delta_{th}}$$

$$\text{of } C_d = \frac{\Delta_{th}}{h_i} \cdot \frac{2B}{d} \left\{ \frac{g h_i}{V_i^2} - \frac{0,5 g \Delta_{th}}{V_i^2} - \frac{\Delta_{th}}{h_i - \Delta_{th}} \cdot \frac{h_i}{\Delta_{th}} \right\}$$

$$\text{of } \frac{\Delta_{th}}{h_i} = C_d \cdot \frac{d}{2B} \frac{\frac{V_i^2}{g h_i}}{\left(1 - 0,5 \frac{\Delta_{th}}{h_i} - \frac{h_i}{h_i - \Delta_{th}} \cdot \frac{V_i^2}{g h_i} \right)}$$

waarbij $C_d = 1$ resp $1,18$ afhankelijk van de waarde van het gesel van $Re = \frac{V_i \cdot d}{\nu}$.

Hoofdstuk III. Opstelling en meetprogramma

III - 1. Opstelling

Voor het eerste deel van het onderzoek, namelijk het meten van het verloop t.g.v. de stuwbraak op de cylinder door het water, is gebruik gemaakt van een kantelgoot, met een kunststof bodem, glazen wanden en een breedte van 0,4 m. Die figuur 4. Voor dit onderzoek is uitstekend gewerkt bij horizontale bodem en maestrails.

De cilinders zijn geplaatst in het midden van de goot op c.a. 8 m vanaf de instroming. De diameters van de cilinders zijn 0,0385; 0,06; 0,09; 0,135; 0,18 m.

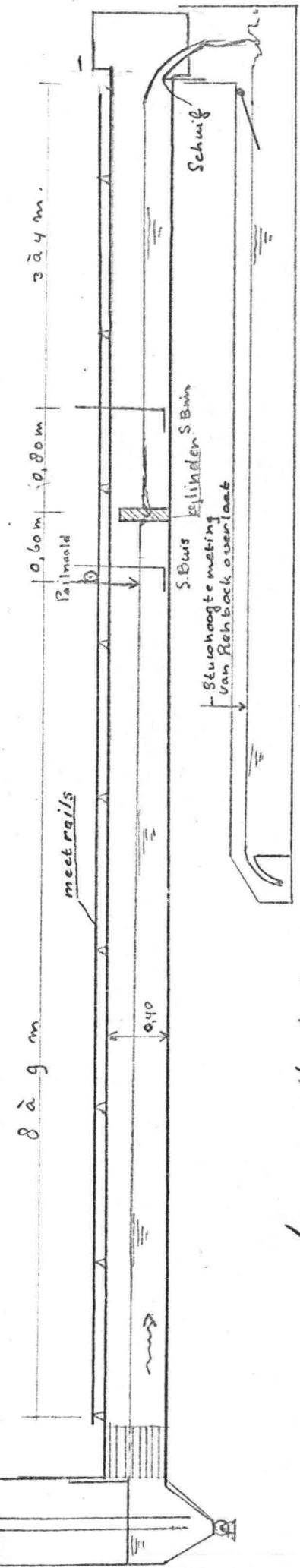
De lengte van 8 meter is reeds voldoende om een rechtlijnig stroomlijnenpatroon te garanderen.

De debietmeting is uitgevoerd met een onder de kantelgoot vast opgestelde Rehboch overlaat, waarvan de Q-h-kromme bekend is.

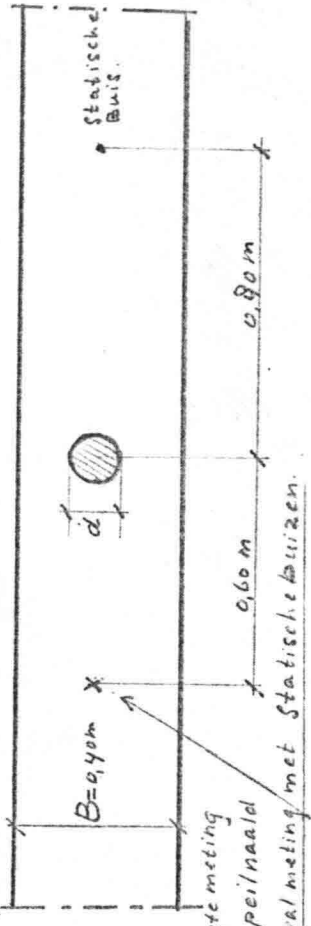
De waterhoogten zijn gemeten op 60 cm voor de cylinder, gedaan met een peilstaal, en op 80 cm achter de cylinder met achteraanvolgens: a een peilstaal; vanwege zoveel blauw da's niet uit voorbaar

b Een statische buis gekoppeld aan een manometervaat; De meetfout bedraagt bij deze opstelling 0,0001 m bij de peilstaal en 0,0005 m bij het manometervaat. (Bij de uitwerking van de metgegevens bleek deze fout een te grote invloed te hebben.)

c Een microvervalmeter in combinatie met de peilstaal voor de cylinder (meetfout microvervalmeter is 0,00001 m).

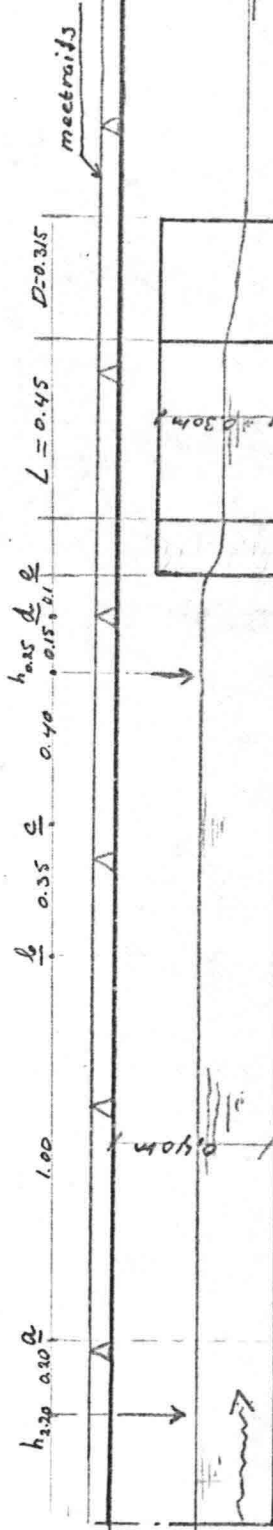


figuur 4a Verticale doorsnede over handigood en ondergelagen Rehback overlaat.



hoogtemeting
met peinaal
vervalmeting met statische kaizen.

figuur 4b Horizontale doorsnede
over handigood med
Cylinder



figuur 5

Horizontale doorsnede over goed med vermalingslaag

figuur 5

mean kub back -
overlaat.

Het debiet kan geregeld worden met een afsluiter en de waterhoogte met een schuif aan het eind van de handelgoot.

Voor het tweede deel van dit ondervroeg is gebruik gemaakt van een vaste horizontale goot, waarin een vermalting aangebracht is.

Zie figuur 5. De eisen waaraan deze vermalting moet voldoen volgens ISO-norm 1438 zijn bij $B = 0,20\text{m}$; $p=0$ en $b = 0,095\text{m}$

$$b > 0,09\text{m} \quad \text{Toepast is: } b = 0,095\text{m}$$

$$\frac{b}{B} \cdot \frac{h_{\max}}{h_{\max} + p} < 0,7 \quad " \quad \text{als } h_{\max} < 0,30\text{m}, \frac{b}{B} = 0,475$$

$$\frac{h_{\max}}{b} < 3 \quad " \quad \frac{h_{\max}}{b} = 3$$

$$0,05 < h < 1,80\text{ m} \quad " \quad 0,05 < h < 0,30\text{ m.}$$

$$L > 1,5 h_{\max} \quad " \quad L = 0,45\text{ m}$$

$$D = 3(B - b) \quad " \quad D = 0,315\text{m.}$$

$$R = 2(B - b) \quad " \quad R = 0,21\text{m}$$

$$E = 3 \text{ à } 4 h_{\max} \quad " \quad E = 0,90\text{m.} (h_{\max} = 0,25)$$

$$F > 10 B \quad " \quad F \approx 3,00\text{m.}$$

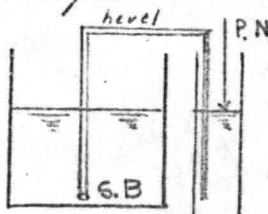
De debietmeting is gedaan met een vaste Rehboch overlaat onder de bovengenoemde goot. Onder van deze overlaat is de Q-h kromme tekened.

In de goot zijn op verschillende plaatsen cilinders opgesloten met diameters van resp 2 - 3 - 4,5 - 6,75 en 9 cm.

Op twee plaatsen is de stuwhoogte gemeten:

a op 2,20m voor de vermalting met een peilnaald,

b op 0,25 m voor de vermalting met een statische buis, gekoppeld met een hevel aan een vat, waarin de waterhoogte met een peilnaald gemeten kan worden. (fig. 6).



III-2 Mets programma.

Aan genien de handelgoot nog niet eerder gebruikt was, moesten er een aantal voorbereidende werkzaamheden verricht worden

- a. Waterdicht maken van de goot om horizontale stand te kunnen bepalen,
- b. de stand van de leantelgoot opnemen, waarop de goot boven en daars horizontaal stonden,
- c. de multkorrelts bepalen van de Rehboch-overlaat.

Na een aantal proeven bleek dat de waterhoogte meting achter de cylinder met behulp van een peilnaald niet uitvoerbaar was vanwege golven in het water. De waterhoogte meting achter de cylinder is daarom gedaan met behulp van een statische buis en een manometer bord.

Op deze Wyse is met 5 cylinders bij 4 à 5 verschillende debieten en 4 verschillende waterhoogten, nl 0,30; 0,25; 0,20 en 0,15m het verval Δh gemeten tussen de plaatsen 0,60 m voor de cylinder en 0,80 m achter de cylinder. Bij de uitwerking van de vernameerde meetgegevens bleek dat de meetfout van 0,0005 m groot was voor de gemeten verwaarden. Daarom is de gehele serie metingen herhaald met een peilnaald voor de hoogtemeting op 0,60 m voor de cylinder en een microvervalmeter met de meetpunten op 0,60 m voor en 0,80 m achter de cylinder om het verval tussen deze 2 plaatsen te meten.

Naast de metingen, waarbij de cylinders precies in het midden van de goot geplaatst zijn, zijn bij de cylinders met diameter 6 en 9 cm nog een aantal series metingen verricht, waarbij de cylinders geen gelijke afstanden hebben tot de beide wanden van de goot of tegen één van de wanden aangedrukt zijn.

Naar het tweede deel van het onderzoek is eerst van de vermalting in de goot van 0,20 m breed een Q-h kromme bepaald met behulp van de Rehboch-overlaat.

De stuw-hoogte is bepaald op 4 plaatsen voor de vermalting

met een peilnaald en wel op 0,90; 0,60; 0,40 en 0,15 m voor de verstraming. (Tabel I en grafiek 1)

Hieruit blijkt, dat over deze afstand het verval nihil was.

Daarom is als plaats van stuwhoogtemeting 0,25 m voor de verstraming gekozen. Dit om 2 redenen: a omdat bleek, dat er op deze afstand nog geen in vloed was van de versnelling van het water in de verstraming op de stuwhoogte; b omdat achter de cilinder een plaats genomen moest worden, waar de stroomlijnen wagenoeg weer recht waren, dus waar de afstand tussen cilinder en meetpunt zo groot mogelijk was.

Daarop volgt is bij elke stuwhoogte de waterhoogte bepaald op 2,20 m en 0,25 m voor de verstraming:

a zonder cilinder in de goed

b met cilinder op resp 2,00; 1,00; 0,65 en 0,10 en 0 m (in de versnelingszone) voor de verstraming.

Tot slot is rond deze 8 stuwhoogtes nog een nauwkeuriger Q-h kromme bepaald. (Tabel II)

Hoofdstuk IV Berekening en Resultaten.

IV-1 Bepaling van het verval van het water tgo de cilinders en berekening van C_d'

In tabel III zijn bij vier waterhoogten, nl 0,15; 0,20; 0,25 en 0,30 bij verschillende snelheden de weerstandscoëfficiënten van Chézy bepaald, waarbij aangenomen is dat de gemiddelde wand en bodem ruwte volgens Strickler $2 \times 10^{-5} \text{ m/s}$ is. De resultaten van deze berekening zijn weergegeven in grafiek 2.

In tabel III zijn voor dertien verschillende waterhoogten t.g.v. de afwijking in de goot de waarden van $\frac{\Delta'}{h_1}$ bepaald voor diverse snelheden, waarbij $\Delta' = 1,4 \times I$ ($0,60 + 0,80 = 1,4 \text{ m}$) en $I = \frac{V_i^2}{g h_1}$.

Dese resultaten zijn uitgetekend in grafiek 3, die het verband weergeeft tussen $\frac{\Delta'}{h_1}$ en $\frac{V_i^2}{g h_1}$ voor de vier waterhoogten.

In bijlage 1 zijn de berekeningen (niet gevoerd) van de C_d' uitgevoerd uitgaande van de meetgegevens verkregen door de waterhoogten te meten: a voor de cilinder met een peilstaaf en b achter de cilinder met een statische buis + manometersysteem.

In bijlage 1 is een holom opgenomen, waarin $\frac{\Delta - \Delta'}{h_1}$ berekend is.

Dese waarden zijn voor de diverse diameters uitgetekend tegen $\frac{V_i^2}{g h_1}$ in de grafieken 4 tm 8. Ook zijn in deze grafieken de krommen getekend, die het verband geven tussen

$\frac{\Delta_{th}}{h_1}$ en $\frac{V_i^2}{g h_1}$ als gegeven is dat $C_d = 1$ als $Re < 10^4$ en $C_d = 1,18$ als $Re > 10^4$. In dit geval, waarbij $Re < 10^4$ is, zijn $\frac{V_i^2}{g h_1}$ en $\frac{\Delta_{th}}{h_1}$ ook klein, zodat het verschil $\Delta - \Delta'$ niet tot uitdrukking komt in de grafieken bij deze schaal.

In bijlage 2 zijn voor de vijf diameters uit de meetresultaten afkomstig van de metingen, waarbij de hoogtemeting voor de cilinder verricht is m.b.v. een peilstaaf en het verval tussen de waterhoogten voor en achter de cilinder met een microvervalmeter, de waarden $\frac{\Delta}{h_1}$, $\frac{\Delta - \Delta'}{h_1}$, $\frac{\Delta_{th}}{h_1}$ en $\sqrt{\frac{V_i^2}{g h_1}}$ (getal van Froude)

en C_d' berekend.

De berekende waarden van C_d' zijn in werkelijkheid enkele tiendaal procenten groter dan in de tabellen van bijlage 1 en 2 omdat in de computerberekening ingevoerd is:

$$\frac{K}{g} = 0,5 g B \{ 2 h, (\Delta - \Delta') - (\Delta - \Delta')^2 \} + B \{ v_1^2 h, - v_2^2 (h - (\Delta - \Delta')) \}$$

terwijl dit moet zijn:

$$\frac{K}{g} = 0,5 g B \{ 2 h, (\Delta - \Delta') - \Delta^2 \} + B \{ v_1^2 h, - v_2^2 (h - \Delta) \}$$

Dane fout die voor is alleen van invloed op de berekening van C_d' .

De fout die hierbij gemaakt wordt, is: $\Delta' B (g \cdot \Delta - 0,5 g \Delta' - v_2^2)$

Dane bedraagt bij: $d = 0,0385m$, $h = 0,3m$, $v_1 = 0,2m/s$ 0,3%

en bij $d = 0,135m$, $h = 0,15m$ en $v_1 = 0,5m/s$ 0,5%.

Bij kleine diameters plaatje h , en grote v_1 bedraagt de fout iets meer, nl 2 à 3%. Maar gezien de grote spreiding in de C_d' -waarden is dit van geen belang en zou bv in de grafieken 13, 14 en 15 niet tot uitdrukking komen.

In de grafieken 9 tm 12 is voor vier verhoudingsgetallen tussen diameter van de cylinder en de breedte van de goed het verband tussen $\frac{\Delta - \Delta'}{h_1}$, resp. $\frac{\Delta h}{h_1}$ en $\frac{v_1^2}{gh_1}$ getoond.

De berekening is voor een gedeelte op een terminal uitgevoerd.

Voor de gebruikte programma's wordt verwezen naar bijlage 3.

Van de 2^e serie metingen is in de grafieken 13, 14 en 15 de waarde van C_d' uitgetrokken tegen de bijbehorende getallen van Froude. Er blijkt een grote spreiding te zijn in deze waarden voor $\frac{d}{B} = 0,0965$ en 0,15 en 0,45.

Als $\frac{d}{B} = 0,45$ dan neemt C_d' bij hogere Froude-getal een grotere waarde aan. (zie grafiek 15). Bij grafiek 13 en 14 blijkt dat als het Froude-getal kleiner is dan 0,12 de waarden van C_d' sterk variëren, maar niet direct groter worden als het getal van Froude groter wordt. Daarom is het gemiddelde bepaald van C_d' uit de meelgegeven van bijlage 2.

In grafiek 1b is het verband aangegeven tussen $\frac{d}{B}$ en deze C'_d punten.

De lijn door deze punten is bepaald met de methode van de kleinste kwadraten. De hierbij behorende normaalvergelijking is:

$$5a + \sum_{i=1}^{i=5} \left(\frac{d}{B} \right)_i \cdot b = \sum_{i=1}^{i=5} C'_d q_{mi}$$

Hieren wordt a gesteld op 1,18 nodig

$$5,90 + 1,2587 b = 11,144 \Rightarrow b = 4,167$$

Dus $C'_d = 1,18 + 4,167 \times \frac{d}{B}$ waarbij $\frac{v^2}{gh_1} < 0,12$ omdat
als $\frac{v^2}{gh_1} > 0,12$ C'_d toe gaan nemen.

In deze formule is alleen de waarde 1,18 ingevoerd, omdat het
getal van Re iedere meeste gevallen groter is dan 10^4 .

IV-2 Invloed van cilinders in de aanvoerpijp van een Venturi-pijp.

In tabel I zijn de meetresultaten van de stuwhoogtes weergegeven
behorende bij de diverse waarden van Q .

In grafiek 2 zijn de stuwhoogtes tegen de afgevoerde
hoeveelheid uitgedrukt. De lijn door deze punten vormt
de Q -h-kromme van de gebruikte verormalling.

Voor het onderzoek zijn 8 stuwhoogtes op 0,25 m voor de
verormalling gekozen liggende tussen 7 en 29 cm.

Voor een aantal waarden in de nabijheid van deze 8 stuwhoogtes

(zie volgende pagina)

Nijn de debieten gemeten. Dene zijn weergegeven in tabel III en de grafieken 18 tm 25. In denen grafieken zijn tevens de lijnen van procentuele afwijkingen van Q_3 t.o.v. de Q behorende bij de gekozen stuwhoogte geschiedt voor stuwhoogten rondom deze Q waarden. Behoort bij de stuwhoogte h_3 , waarvan ingegaan wordt, de afvoer Q_3 en bij de $h_3 + \Delta h$ de afvoer $Q_3 + \Delta Q$, dan heeft de afvoer $Q_3 + \Delta Q$ bij $h_3 + \Delta h$ een procentuele afwijking $\frac{\Delta Q}{Q_3} \times 100\%$ t.o.v. Q_3 bij h_3 .

In tabel IV zijn de meetresultaten samengevat van d $h_{2,20}$; $h_{0,25}$ en Q bij afwemigheid van een cylinder b $h_{2,20}$; $h_{0,25}$ en Q als de cylinder staat op de plaatsen a, b, c, d en e in de aanvoer goot. Dat is op 2,00; 1,00; 0,65; 0,10 en 0 m voor de vermalting.

In de grafieken 26 A tm 30 A is uitgeteld de stuwhoogte $h_{0,25}$ zonder cylinder tegen het verschil tussen $h_{0,25}$ (onder) en $h_{0,25}$ met cylinder als de cylinder op de plaatsen a, b en c staat.

We kunnen uit deze grafieken opmerken dat de cilinders 0,02; 0,03 en 0,045 m op de plaatsen a en b geen invloed hebben op de stuw hoogte meting $h_{0,25}$ voor de Venturi. Tevens dien we dat de cilinders 6,75 en 9 een nietbare invloed hebben op $h_{0,25}$ alleen bij grote waterhoogte en grote snelheid.

Op plaats b hebben beide cilinders een geringe invloed.

Op plaats c hebben alle cilinders invloed op de $h_{0,25}$.

Dens invloed is sterk afhankelijk van de verhouding $\frac{d}{B}$. De grafieken 26 B tm 30 B geven voor alle toegepaste cilinders de invloed op de hoogtemeting $h_{2,20}$ weer. Met gerelatieveert $h_{2,20}$ met minus $h_{2,20}$ zonder cylinder tegen $h_{0,25}$ (onder cylinder).

De verschillen tussen $h_{2,20}$ met en $h_{2,20}$ zonder cylinder nemen bij elke willekeurige waterhoogte als de cilinders achtereen-

volgend staat op de plaatsen a, b, c en e af. Deze verschillen wijken op de plaatsen a, b en c zeer weinig van elkaar af.

Nooit de plaatsen d en e wordt de opstuwing aanzienlijk minder, vooral bij grotere waterhoogten.

In de grafieken 26C en 30C is het verband gegeven tussen $h_{0,25}$ en het verschil tussen $h_{2,20}$ en $h_{0,25}$ voor de plaatsen a, b en c. Voor de plaatsen d en e is dit verschil gelijk aan het verschil tussen $h_{2,20}$ en $h_{0,25}$ als er geen cilinder in de aanvoergoot staat.

De gemeten verslagen, als de cilinder op de plaatsen a en b staat verschillen onderling weinig. Staat de cilinder op plaats c dan neemt het verschil steedslijn toe.

In Tabel II zijn de procentuele afwijkingen van de afvoer behorende volgens de Q-sh. kromme bij $h_{2,20}$ met cilinder berekend, t.o.v. de afvoer behorende bij $h_{2,20}$ zonder cilinder.

Dene afwijking blijft op één plaats per cilinder voor verschillende waterhoogten ongeveer gelijk te zijn.

Dit vindt zijn verklaring in het feit dat het gebal van Kronele bij benadering gelijk blijft, dus ook $\frac{A}{h}$.

Ook tabel IIa en het eerste gedeelte van het onderzoek.
Daarom is het gemiddelde genomen van de afwijkingen van Q van de verschillende waterhoogten op één plaats bij één diameter.

In grafiek 31 zijn deze afwijkingen uitgetekend tegen de verhouding $\frac{d}{B}$ voor de verschillende plaatsen van de cilinders.

De afwijkingen van Q in procenten behorende bij de niveaameting $h_{0,25}$ genomen als er een cilinder in de aanvoergoot geplaatst is t.o.v. de afvoer behorende bij $h_{0,25}$ bij afwijkheid van een cilinder zijn berekend en weergegeven in Tabel VII.

Ook deze afwijkingen zijn uitgetekend tegen $\frac{d}{B}$ voor elke plaats

Nam de cylinder in grafiek 32

Tot slot zijn in tabel III de afwijkingen 1 o.v. Q (onder cylinder) behorende bij $h_{0,25}$ de afwijkingen berekend van de afvoer behorende bij $h_{2,20}$, $h_{0,0}$ en $h_{0,75}$ als de cylinders staan in a resp. b en c. De percentages zijn samengesteld uit de percentages van tabel II + percentage afwijking van afvoer van $h_{2,20}$ t.o.v. afvoer bij $h_{0,25}$ als er geen cylinder aanwezig is.

Dit laatste percentage neemt lineair af van 0,34% bij $h_{2,20}$ tot 0% bij $h_{0,25}$. Voor de plaatsen d en e geldt dan dat afwijking van $h_{0,25}$ met cylinder 1 o.v. Q van $h_{0,25}$ onder cylinder (tabel III). Dergelijken zijn in grafiek 32 onder d en e weergegeven.

Hoofdstuk II Discussie

II-1 Invoer van de verhouding $\frac{d}{B}$ op de verhouding $\frac{\Delta - \Delta'}{\Delta_{th}}$ en op de "stuwdrukcoëfficiënt" C_d' .

Het zijn 2 series metingen, waarvan de resultaten weergegeven zijn in de grafieken $y \sim \Delta$ en $g \sim \Delta_{th}$ blijkt:

a dat $\frac{\Delta - \Delta'}{\Delta_{th}}$ groter wordt als $\frac{d}{B}$ toeneemt,

b dat $\frac{\Delta - \Delta'}{\Delta_{th}}$ bij alle cilinders toeneemt als $\frac{V_f^2}{gh_1}$ groter wordt.

De in de grafieken verwelkte waarden van V_f variëren tussen 0,08 en 0,7 m/s en die van h_1 tussen 0,09 en 0,81 m.

Het getal van Reynolds ($\frac{V_f d}{\nu}$) varieert dan tussen $0,3 \times 10^4$,

als $d = 0,0385 \text{ m}$ en $1,2 \times 10^5$ als $d = 0,18 \text{ m}$ als $V = 1,02 \times 10^6 \frac{\text{m}^3}{\text{s}}$

bij een temperatuur van het water van $19,5^\circ \text{C}$.

Volgens Hoerner (lis. 6) is de stuwdrukcoëfficiënt bij waarden van $10^3 < Re < 10^4$ een en bij $10^4 < Re < 2 \times 3 \times 10^5$ wordt deze 1,18. Er wordt hierbij alleen vermeld, dat dit geldt voor een tweedimensionale stroomtussen parallelle wanden, maar niet was de verhouding $\frac{d}{B}$ is.

Gaan we uit van:

$$\frac{\Delta - \Delta'}{h_1} = C_d' \cdot \frac{d}{2B} \left\{ \frac{\frac{V_f^2}{gh_1}}{1 - 0,5 \cdot \frac{\Delta^2}{h_1(\Delta - \Delta')}} - \frac{V_f^2}{gh_1} \cdot \frac{d}{h_1 - \Delta} \cdot \frac{h_1}{\Delta - \Delta'} \right\}$$

$$\text{en } \frac{\Delta_{th}}{h_1} = \{1,18\} \frac{d}{2B} \left\{ \frac{\frac{V_f^2}{gh_1}}{1 - 0,5 \cdot \frac{\Delta_{th}^2}{h_1(\Delta - \Delta')}} - \frac{V_f^2}{gh_1} \cdot \frac{h_1}{h_1 - \Delta_{th}} \right\}$$

$$\text{dan is } \frac{\Delta - \Delta'}{\Delta_{th}} = \frac{C_d'}{C_d} \left\{ \frac{1 - 0,5 \frac{\Delta_{th}}{h_1} - \frac{V_f^2}{gh_1} \cdot \frac{h_1}{h_1 - \Delta_{th}}}{1 - 0,5 \cdot \frac{\Delta^2}{h_1(\Delta - \Delta')} - \frac{V_f^2}{gh_1} \cdot \frac{d}{h_1 - \Delta} \cdot \frac{h_1}{\Delta - \Delta'}} \right\}$$

$$\text{Hierbij is } 1 - 0,5 \frac{\Delta_{th}}{h_1} = \frac{\Delta_{th}(\Delta - \Delta')}{\Delta^2} < 1 \text{ dus } 0,5 \frac{\Delta_{th}}{h_1} < 0,5 \frac{\Delta^2}{h_1(\Delta - \Delta')}$$

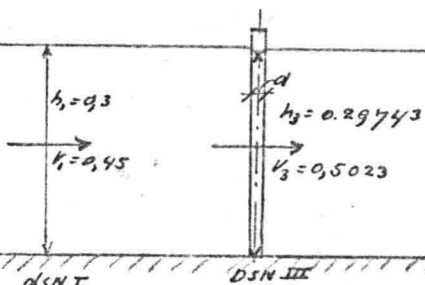
$$\text{en } 2) \frac{h_1}{h_1 - \Delta_{th}} = \frac{(\Delta - \Delta') h_1 - \Delta}{\Delta - \Delta'} < 1 \text{ dus } \frac{h_1}{\Delta - \Delta'} < \frac{\Delta}{\Delta - \Delta'} \cdot \frac{h_1}{h_1 - \Delta}$$

dus niet de breuk Δ/Δ' worden. Maar de invloed op de waarde van de breuk is echter gering. De breuk zal meer naar 1 naderen als $\frac{V_f^2}{gh_1}$ toeneemt. Uit de met resultaten is gebleken dat $\frac{\Delta-\Delta'}{\Delta_{th}}$ veel groter is dan 1 als $2 \approx 4$. Dit moet dan zijn voorstaan vinden in de verhouding C_d' .

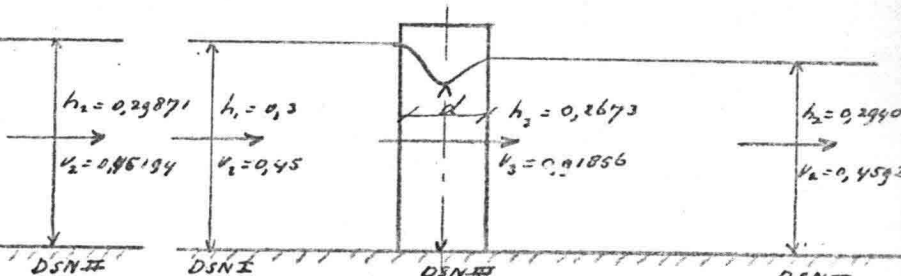
In hoofdstuk IV-1 is bepaald dat $C_d' = 1,18 + 4,167 \times \frac{d}{B}$.
Op basis van de uitgevoerde proeven en berekeningen zou geregt kunnen worden:

$$\frac{\Delta-\Delta'}{\Delta_{th}} = \frac{1,18 + 4,16 \frac{d}{B}}{1,18} \cdot \frac{1 - 0,5 \frac{\Delta_{th}}{h_1} - \frac{V_f^2}{gh_1} \cdot \frac{h_1}{h_1 - \Delta_{th}}}{1 - 0,5 \frac{\Delta^2}{h_1(\Delta-\Delta')} - \frac{V_f^2}{gh_1} \cdot \frac{h_1}{h_1 - \Delta} \cdot \frac{\Delta}{\Delta-\Delta'}}$$

Om enkele redenen te noemen voor de toename $\frac{\Delta-\Delta'}{\Delta_{th}}$ als $\frac{d}{B}$ toeneemt, willen we de volgende gevallen wat nader bekijken. zie figuur 4.



figuur 4a ($d=0,0385$)



figuur 4b ($d=0.10$)

Voor geval a en b geldt in dsn I: $B = 0,40 \text{ m}$ $h_1 = 0,30 \text{ m}$ $V_f = 0,45 \text{ m/s}$ en $g = 9,81 \text{ m/s}^2$

Voor a: $\frac{d}{B} = 0,09625$ en voor b is $\frac{d}{B} = 0,45$

Vorder is $\frac{V_f^2}{gh_1} = 0,0688$ en dat bij deze waarde $\frac{\Delta-\Delta'}{\Delta_{th}}$ resp. 0,0059 en 0,055 (zie grafiek 4 en 8)

Tevens is hierbij $\frac{\Delta_{th}}{h_1}$ resp. 0,0043 en 0,02,

roodat $\frac{\Delta-\Delta'}{\Delta_{th}}$ resp. $\frac{0,0059}{0,0043} = 1,37$ en $\frac{0,055}{0,02} = 2,75$ is bij $Fr = 0,688$.

Geval a

$$\Delta_{th} = 0,3 \times 0,0043 = 0,00129 \text{ m}$$

$$\Rightarrow h_2 = 0,29871 \text{ m}$$

Geval b

$$\Delta_{th} = 0,3 \times 0,02 = 0,006 \text{ m}$$

$$h_2 = 0,2940 \text{ m}$$

$$V_{2a} = \frac{0,054}{0,4 \times 0,29871} = 0,45194 \text{ m/s} \quad V_{2b} = \frac{0,054}{0,4 \times 0,2940} = 0,4592 \text{ m/s}$$

Bij DSN I is $H = 0,3 + \frac{0,45^2}{19,62} = 0,3103 \text{ m}$

Volgens de kontinuitet is $B_3 \cdot h_3 \cdot v_3 = B_3 \cdot h_3 \cdot v_3$

$$\text{Dus: } h_{3a} = \frac{0,4 \times 0,3 \times 0,45}{0,8615 \times v_3} = \frac{0,1494}{v_3} \quad h_{3b} = \frac{0,054}{0,22 \times v_{2b}} = \frac{0,2455}{v_3}$$

$$\text{Dus } f(v_3) = \frac{v_3^3}{19,62} - 0,3103 v_3 + 0,1494 = 0 \quad f(v_3) = \frac{v_3^3}{19,62} - 0,3103 v_3 + 0,2455 = 0$$

$$v_3 = 0,5023 \text{ m/s} \quad \text{dan } f(v_3) = 0,0000011 \quad v_3 = 0,91856 \text{ m/s} \quad f(v_3) = 0,000026$$

$$h_3 = 0,29743 \text{ m} \quad h_3 = 0,2673 \text{ m}$$

By $B_0 \cdot Fr = 0,0688$ is $\frac{d-d'}{d_{th}} = 0,37$ resp $2,75$ bij resp $\frac{d}{B} = 0,09685$ resp $0,45$

Dat in werkelijkheid $\frac{d-d'}{d_{th}}$ groter wordt als $\frac{d}{B}$ toeneemt bij gelijke F_r is het gevolg van:

a. als $\frac{d}{B}$ groter wordt dat het verval over l_{z-II} t.o.v. de grootte afneemt want over grotere delen van l_{z-II} dat een grotere snelheid op treedt dan bij kleine $\frac{d}{B}$. Ooh de lengte waarover de grotere snelheid op treedt neemt toe maar niet d toeneemt.

Het is echter moeilijk om de toename van het verval over l_{z-II} t.o.v. de grootte afneemt in exacte waarden uit te drukken.

b. de sterkeer verandering van het stromingsbeeld met rechte stroomlijnen bij grotere $\frac{d}{B}$. De wervels duiken bij grotere $\frac{d}{B}$ verder achter de cylinder diepbaar zijn. Daarom gevolgt dat met de statische buis een kleinere drukhoogte gemeten worden dan er in werkelijkheid is. De lengte van deze "verbragingszone" achter de cylinder is groter als $\frac{d}{B}$ groter is. Daarom dat dan nog in vloed zijn op de h_2 , nodat er een groter verval gemeten zal worden.

c. Het toename van $\frac{v_3}{v_2}$ als $\frac{d}{B}$ groter wordt (in boven beschreven voorbeeld van $\frac{v_{3a}}{v_2} = \frac{0,5023}{0,45194} = 1,111$ en $\frac{v_{3b}}{v_2} = 2,00$ bij

resp $\frac{v_i^2}{B}$ is 0,09625 en 0,45

Dien ten gevolge mullen de vertraging verlieren te nemen.

Gaan we uit van een bepaalde H

Q en een hoogte h , dan zal

alst het vertraging verlies $\Delta H_b > \Delta H_a$

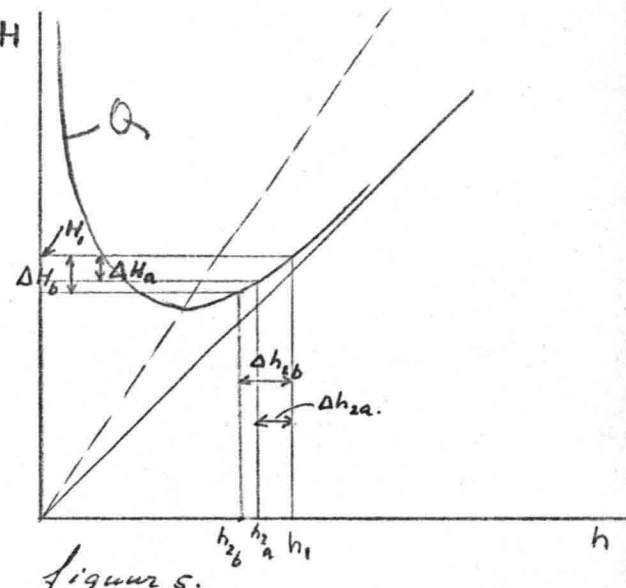
$\Delta h_{2b} > \Delta h_{2a}$ zijn en dus $h_{2b} < h_{2a}$

Ho neemt ook hierdoor het

verval tussen dsn I en II so

als gevolg van de toename

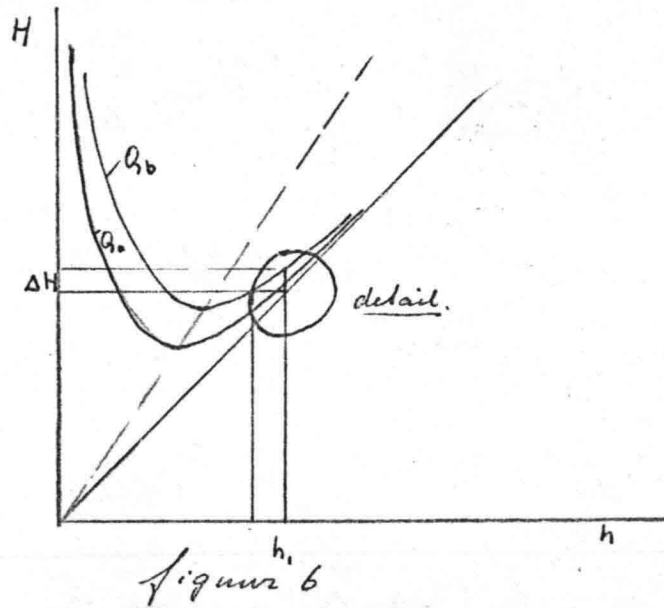
van $\frac{d}{B}$. (zie oth figuren).



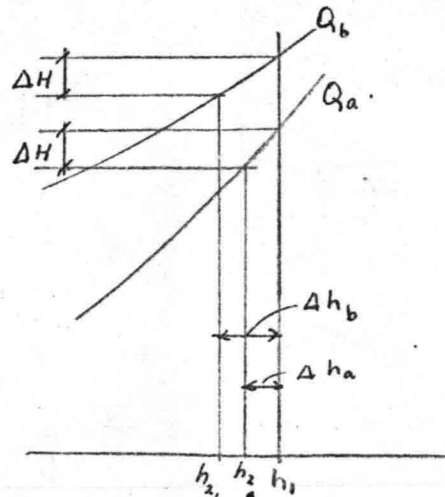
figuur 5.

IV-2 Snovlaad van $\frac{v_i^2}{gh_i}$ op $\frac{\Delta - \Delta'}{\Delta h_i}$ bij constante $\frac{d}{B}$.

In IV-1 is ook genoemd dat $\frac{\Delta - \Delta'}{\Delta h_i}$ bij alle cilinders toeneemt als $\frac{v_i^2}{gh_i}$ groter wordt en des te duidelijker als $\frac{v_i^2}{gh_i}$ groter wordt dan 0,1. Nemen we h_i constante dan zal bv. bij twee verschillende Q 's, als we om te beginnen het vertraging verlies ΔH constante veronderstellen, de Δh groter zijn, naarmate Q groter wordt (dat $\frac{v_i^2}{gh_i}$ groter), omdat de helling van de kromme bij h_i voor Q_a groter is dan voor Q_b als $Q_a < Q_b$ (zie figuur 6).



figuur 6



In werkelijkheid echter zal als Q toeneemt ook ΔH toenameen (grotere verbragingsverlies) dus Δh_1 nog sterker toenemen, of wel h_{2c} moet meer afnemen tot h_{2a}

De evenredigheid tussen $\Delta - \Delta'$ en $\frac{V_i^2}{gh_1}$ resp ΔH mogen we als volgt kunnen bepalen.

$$\text{Uitgaande van } H = h_1 + \frac{V_i^2}{2g} \text{ en } V_i = \frac{Q}{B \cdot h_1}$$

$$\text{of } H = h_1 + \frac{Q^2}{2g B^2 h_1^2}$$

kunnen we zeggen dat bij h_1 de hellings van de boromme is:

$$\frac{\Delta H}{\Delta h} = 1 - \frac{2 \frac{Q^2}{B^2 h_1^3}}{2g} = 1 - \frac{V_i^2}{gh_1}$$

Dus het vervaldelen gevolg van het verbragingsverlies ΔH bedraagt: $\Delta h = \frac{\Delta H}{1 - \frac{V_i^2}{gh_1}}$

Ook hieruit blijkt dat bij toeneemende $\frac{V_i^2}{gh_1}$ Δh toeneemt.

De grootte van ΔH tgo het verbragingsverlies is moeilijk te bepalen. De $\Delta H'$ die te berekenen is uit de meesgegevens van h_1 en Δ bevat het energiehoogte verlies tgo de goedwarsstand + het energiehoogte verlies tgo de stuwdraad.

Dit laatste energiehoogte verlies wordt gedelijktelijk bepaald door de verbragingsverlieren. Het is moeilijk om dit deel in een exacte waarde uit te drukken.

Tamenvaststand is dus te zeggen, als we er van uitgaan dat $C_d = 1$ of $1,18$ afhankelijk van het getal Re :

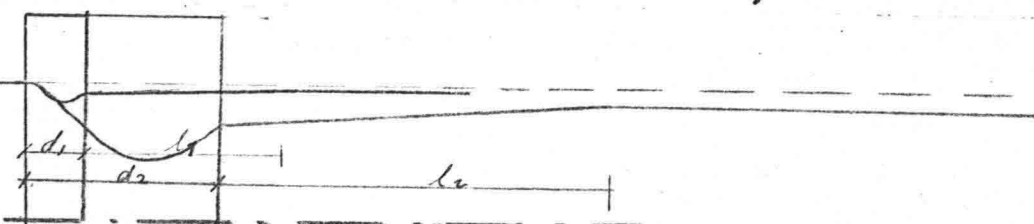
\underline{a} $\frac{\Delta - \Delta'}{\Delta_{th}}$ neemt toe, als $\frac{d}{B}$ toeneemt, tgo extra wryvingsverlieren, grotere verbragingsverlieren en in vloeid van wervels op de ^{watery} hoogtemeting h_2

\underline{b} $\frac{\Delta - \Delta'}{\Delta_{th}}$ neemt toe, als $\frac{d}{B}$ konstant is en $\frac{V_i^2}{gh_1}$ toeneemt, tgo. grotere verbragingsverlieren ΔH en een groter wordend verhoudingsgetal $\frac{V_i^2}{gh_1}$

II-3 De invloed van cilinders in de aanvoerboot van een Venturi-goot op de stuwhoogte

Het verschil tussen $h_{2.20}$ en $h_{0.25}$ wordt veroorzaakt door:

- Wrijingsverliezen in de goot
- een verval t.g.v. een cilinder in de aanvoerboot tussen 2.20 en 0.25 m voor de vermalting, met name verbragingsverliezen
- een extra verval t.g.v. van wervels achter de cilinders, die invloed hebben op de hoogtemeting



figuur 6. Waterspiegels naast en achter cilinders met verschillende $\frac{d}{B}$

Naarmate $\frac{d}{B}$ groter wordt, is de invloed van de wervels op de waterhoogte op grotere afstand achter de cilinder merkbaar (fig. 6). Als de cilinders op de plaatsen a en b staan, dan hebben de cilinders met diameter 0,02; 0,03 en 0,045 m geen invloed op de stuwhoogte $h_{0.25}$. Er is weer sprake van rechte stroomlijnen ter plaatse van $h_{0.25}$, zodat de stuwhoogte voor de vermalting niet verschilt met $h_{0.25}$ zonder cilinder. Voor de 2 grootste cilinders wordt op deze plaatsen de opstuwhoogte kleiner dan $h_{0.25}$ zonder cilinder. De wervels hebben nog invloed tot vlak voor de vermalting, zodat er geen sprake meer is van rechte stroomlijnen; m.a.w. er wordt nog in het verbragingsgebied gemeten. Daardoor komt een groter gedeelte van de energiehoogte voor rekening van de kinetische energie en een geringer deel wordt bepaald door de drukhoogte in vergelijking met een toestand van rechte stroomlijnen. (zie figuur 2).

Is aan de cilinders op plaats C dan is de stuwhoogtevermindering nog duidelijker te konstateren. Vanwege de geringe afstand tussen cilinder en plaats van hoogtemeting (0,25) zal een kleinere afvoer gemeten worden dan de Q-h-kromme aangeeft voor de Venturi-goot筒子 cilinders. Dit blijkt ook uit grafiek 32. De invloed wordt groter naarmate $\frac{d}{B}$ groter wordt vanwege de grotere invloed van de verstoringen in het vertragingengebied (zie fig. 7).

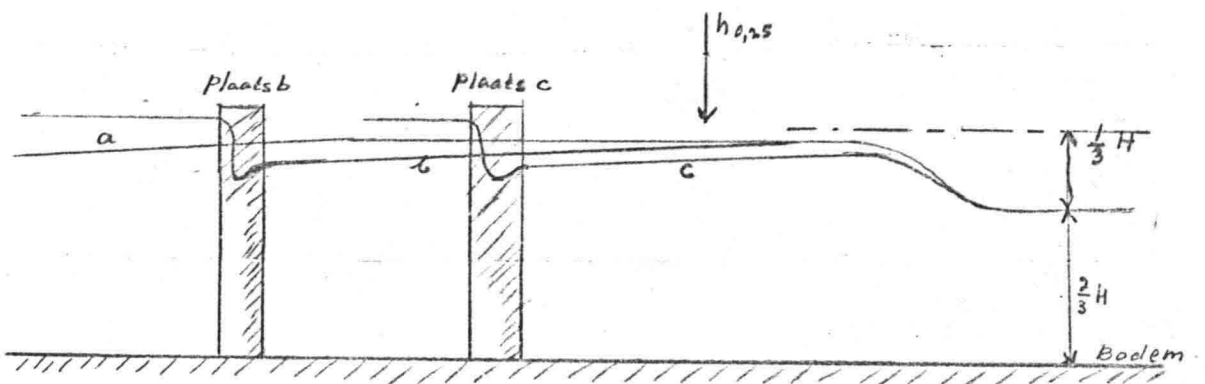


fig. 7. $h_{0,25}$ als een cylinder staat op de plaatsen a resp. b en c.

Uit de grafieken 26 B tm 30 B kunnen we konkluderen, dat als de cilinder op een bepaalde plaats staat $h_{2,20 \text{ m/s}} - h_{2,20 \text{ onder cilinder}}$ groter wordt als $\frac{d}{B}$ toeneemt, maar dat dit verschil afneemt als de cilinders achtereen volgend staan op de plaatsen a, b, c, d en e. Ook hier geldt weer, dat de resultaten van de metingen van $h_{2,20 \text{ m/s}}$ en $h_{2,20 \text{ onder}}$ op de plaatsen a, b, en c weinig verschillen, maar op de plaatsen d en e is dit verschil ($h_{2,20 \text{ m/s}} - h_{2,20 \text{ onder}}$) aanzienlijk kleiner.

Is de afstand tussen cilinder en vermalting erg klein, zodat $h_{0,25}$ in het vertragingengebied gemeten wordt, dan zal achter de cilinder een geringere opsturing gemeten worden tgv de grotere snelheid van het water voor de vermalting. Het water dat naast de cilinder versnelt zal over een bepaalde afstand achter de cilinder weer verdragen. Deze afstand is niet meer aanwezig tussen de cilinder en het vertragingengebied van de vermalting. Dus de waterhoogte van het vertragingengebied

zal lager worden als de cylinder groter wordt of dichter bij de vermalting geplaatst wordt. Door de geringere opstuwing achter de cylinder zal de waterstand voor de cylinder ook afnemen omdat er sprake is van stromend water in tegenstelling tot stilstaand water.

Staat de cylinder in de versnelingszone van de vermalting dan zal het water naast de cylinder versnellen.

Die snelheid dat stroomafwaards gaande niet meer afnemen maar toenemen tot $v = \sqrt{\frac{2}{3} g h}$ vermalting

De vertragingsverliezen die optreden tussen $h_{2,20}$ en de heel van de vermalting nemen dus af bij gelijk blijvende Q als de cylinder dichter bij de vermalting geplaatst wordt.

Daardoor wordt $h_{2,20}$ met $-h_{2,20}$ onder kleiner als de cylinder achteren volgens staat op plaatsen a, b, c, d en e, omdat de waterhoogte in de heel van de vermalting gelijk blijft maar het vertragingsverlies kleiner

Het de proeven is ook gebleken dat $h_{2,20} - h_{0,25}$ groter wordt voor één bepaalde cylinder als deze dichter bij de vermalting geplaatst wordt (grafiek 26 C tm 30 C).

Volgens hoofdstuk II-1 is bij benadering

$$\Delta - \Delta' = Cd \frac{d}{2B} \left(\frac{\frac{v^2}{2g}}{\frac{q}{h_1} - \frac{1}{h_2}} \right)$$

Het daare formule volgt dat als bij gelijk blijvende Q h_1 kleiner wordt, dus v groter $\Delta - \Delta'$ toeneemt ($\frac{v^2}{2g}$ en $\frac{1}{h_2}$ worden groter en $\frac{q}{h_1}$ wordt kleiner). Dus als h_1 afneemt zal h_2 sterker afnemen.
 $\frac{v^2}{2g}$ Dit blijkt ook uit de grafieken 26 A en B tm 30 A en B.

Het verschil tussen $h_{2,20}$ mes en $h_{2,20}$ onder op plaats c t.o.v. plaats a neemt af, terwijl het verschil tussen $h_{0,25}$ onder en $h_{0,25}$ mes toeneemt op plaats c t.o.v. plaats a.

Maar de lijnen a en c liggen in de grafieken 26 B tm 30 B

minder ver van elkaar dan in de grafieken 26 A tot 30 A.
Dit kan gevolgen zijn uit procentuele afwijkingen van Q in
grafiek 31 tussen a en c ook kleiner dan die in grafiek
32 tussen a en c (Bij $\frac{d}{B} = 0,4$ in grafiek 31 0,4% en
in grafiek 32 0,95%).

Hoofdstuk III Konklusies

Worden de eisen, die volgens de ISO-norm 1438 aan een aanslaangoat van een meetapparaat gesteld worden, in acht genomen, dan zullen de afmetingen van de aanslaangoat noodzakelijk zijn, dat de hierin optredende horizontale snelheid op enige afstand van het meetapparaat zeer laag zal zijn. Door de geringe horizontale snelheid en de grote waterhoogte in de aanslaangoat en het kleine verhoudingsgetal tussen diameter van het bemonsteringsapparaat en de breedte van de aanslaangoat zal de invloed op de hoeveelheidsmeting van dit apparaat verwaarloosbaar klein zijn, dus een fout in de orde van grootte van enkele honderdste procenten.

Heeft het afvalwater die eigenschappen, nodig een aanslaangoat met meetapparaat en een bemonsteringsapparaat van het type "Kleebals" toegepast kunnen worden, dan zal bij goede opstelling van meet- en bemonsteringsapparatuur, de grootte van de monsters proportioneel zijn aan de afvoer.

De invloed van cilinders op een waterstroom in een goot wordt groter, naarmate het verhoudingsgetal $\frac{d}{B}$ groter wordt.

Het verval tussen beide afstanden voor en achter de cilinder neemt toe bij $\frac{V^2}{gh_1} = 906$ tot van $0,48\%$ bij $\frac{d}{B} = \frac{1}{15}$ tot $4,3\%$ van de waterhoogte voor de cilinder bij $\frac{d}{B} = 0,45^*$

Bij een stuwdruk coëfficiënt van 1,18 volgens Hoerner zouden deze percentages resp $0,37\%$ en $1,75\%$ bedragen.

Het quotiënt van het gemeten verval en het berekende verval als gevolg van de cilinder in de stroom neemt toe naarmate $\frac{d}{B}$ groter wordt.

Werdit het geschatte verval h_1 van de wrijving buiten beschouwing gelaten, dan volgt uit de genomen proeven en de theoretische berekening:

$$\frac{\Delta - \Delta'}{\Delta_{th}} = \frac{1,18 + 4,167 \cdot \frac{d}{B}}{1,18} \cdot \frac{1 - 0,5 \frac{\Delta_{th}}{h_1} - \frac{h_1}{h_1 - \Delta_{th}} \cdot \frac{V_1^2}{g h_1}}{1 - 0,5 \frac{\Delta^2}{h_1(\Delta - \Delta')} - \frac{h_1}{h_1 - \Delta} \cdot \frac{\Delta}{\Delta - \Delta'} \cdot \frac{V_1^2}{g h_1}}$$

De toenemende van het verhoudingsgetal $\frac{\Delta - \Delta'}{\Delta_{th}}$ bij groter wordende verhouding $\frac{d}{B}$ is het gevolg van grotere wrijvingsverliezen, in verband van wervels op de ^{water}hoogte meting achter de cylinder en grotere vertragingssverliezen achter de cylinder.

Het verhoudingsgetal $\frac{\Delta - \Delta'}{\Delta_{th}}$ neemt ook toe als $\frac{d}{B}$ konstant is en $\frac{V_1^2}{g h_1}$ toeneemt. Het verval tussen punten voor en achter de cylinder is evenredig met $\frac{\Delta H}{1 - \frac{V_1^2}{g h_1}}$.

Worden de cylinderen gezet op een plaats in de dwarsdoorsnede tussen het middelen en de wand van de goot, dan blijft er een kleine toenemende van het verval te zijn naarmate de cylinder dichter bij de wand komt te staan.zie grafiek 5, 6, 11a en 11c
Daarom is het aan te beweren bij het toepassen van dit benaderingsopparaat in meest gevallen, dit in het middelen van de dwarsdoorsnede van de aanvoergoot te plaatsen.

Ten aanzien van de cylinderen in de aanvoergoot van de Venturi-goot kan maar wat in het voorgaande opgemerkt is het volgende gekonkludeerd worden:

- a) Naarmate de cylinder dichter bij de vermalting geplaatst wordt, neems $h_{0,25}$ met cylinder sterker of dan $h_{2,20}$ mes 100 resp $h_{0,25}$ minder en $h_{2,20}$ minder, zoodat $h_{2,20} - h_{0,25}$ met cylinder toeneemt.
- b) Dientengevolge zal de afgeleide afvoer behorende bij de gemeten $h_{0,25}$ mes kleiner worden t.o.v. de werkelijke afvoer en daardoor t.o.v. de werkelijke Q toeneemt (zie grafiek 32, lijn a, b en c)

- c Bij een verhoudingsgetal $\frac{q}{B}$ van b.v. 0,3 bedraagt deze fout in de hoeveelheidsmeting voor de plaatzen a, b en c resp 0,01; 0,07 en 0,6%
- d Werd de stuwhoogte bepaald op 0,25 m voor de versmalling en de waterhoogte ca. 10 cm voor de cylinder dan wijst de hierbij behorende afvoer op de plaatzen a b c en d bij genoemde verhouding $\frac{q}{B}$ van 0,3 resp 2,9; 2,7; 2,4 (grafiek 31 + resp 0,34 0,17 en 0,11%); 1,2 en 0,8% (grafiek 32) af h.o.v. de werkelijke afvoer. en resp 2,9 2,8 en 3,0 en 0 en 0% van de afvoer behorende bij $h_{0,25}$ met cylinder (verdugenaamde percentages minus de afwijkingen van grafiek 32).
- e Als de hoogte in het meetvat van het bemonsteringsapparaat gelijk zou zijn aan de hoogte voor het apparaat, dan zou de afwijking van de grootte van het monster proportionaliter even groot als de afgevoerde hoeveelheid bij deze $\frac{q}{B}$ -verhouding slechts 3% bedragen.

Aan de hand van het voorgaande kan gezegd worden, dat de meetfout in de hoeveelheidsmeting het kleinste is als het bemonsteringsapparaat op de afstand van $10 \times$ de breedte van de aanstrominggoot (= minimale lengte van de aanstrominggoot volgens ISO-norm) voor de versmalling staat.

Er geldt ook dat het verval tussen $h_{2,20}$ en $h_{0,25}$ afneemt als de cylinder verder verwijderd is van de versmalling. Ond de afwijking in de proportionaliteit van het monster h.o.v. de afvoer is het kleinste als het bemonsteringsapparaat aan het begin van de aanstrominggoot voor de versmalling staat.

Duidelijk is dus, dat de beste plaats voor het bemonsteringsapparaat, die aan het begin van de aanstrominggoot voor de versmalling is

Hoofdstuk VII. Danbeeling.

In het voorgaande is er van uitgegaan, dat de waterhoogte in het meelvat van het bemonsteringsapparaat gelijk is aan de waterhoogte voor de cylinder.

Dene hoogte valt maar alle waarschijnlijkhed kleiner zijn.

Het water, dat langs de cylinderstroont, heeft een geringere hoogte, dan dat ervoor. De waterdruk op de wand van de cylinder is op die plaatsen niet gelijk aan elkaar.

Dene drukverschillen zijn groter naarmate $\frac{d}{D}$ en $\frac{V_1^2}{gh_1}$ groter worden.

De afwijkingen in proportionaliteit van het monster, genoemd in hoofdstuk VI zullen dus kleiner worden, maar of dene afwijkingen in absolute waarde kleiner zijn is niet bekend.

Mogelijk zou nog verder onderzoek kunnen worden hoe hoog de waterstand in het meelvat is t.o.v. de sluiting van een versmalling als het bemonsteringsapparaat op een afstand van $10 \times$ de breedte van de aanvoerstrook voor de versmalling staat.

Anderzijds dient echter ook te worden berien of de afwijking in de grootte van het monster proportional gezien t.o.v. de afvoer niet te verwaarlozen is t.o.v. de fouten in de analyse van het afvalwater en de fouten, die gemaakt worden door een monster te analyseren in plaats van de gehele afvalwaterstroom. De monsters blijven immers stukproeven uit een stroon, die in kwantiteit en kwaliteit sterke variaties kunnen hebben.

Literatuurlijst

- 1) Wet op de Neronreiniging van Oppervlakte wateren
- 2) Ing. R. J. P.A. Kuilboer ; Het meten van afvalwaterdebieten in afvoersystemen ; H_2O (7) 1974, nr 3, 43.
- 3) Draft ISO - Recommendation No 1438 : Liquid flow Measurement in Open Channels using thin plate weir and Venturi - Flumes.
- 4) B. Vermy ; Het bemonsdren van afvalwater H_2O (7) 1974, nr 3, 48.
- 5) Balsjer, Polytechnisch Tijdschrift, 1968, Procestechniek.
- 6) S.F. Hoerner, Fluid Dynamie Drag, published by Hoerner 1969
- 7) Dr. M.J. Bosse, Diclaas vloeistof mechanica 672, deel III
Eenparige beweging.

grafiek 1 Q-t kromme van de Venturi-goot.

Q l/s

24

22

20

18

16

14

12

10

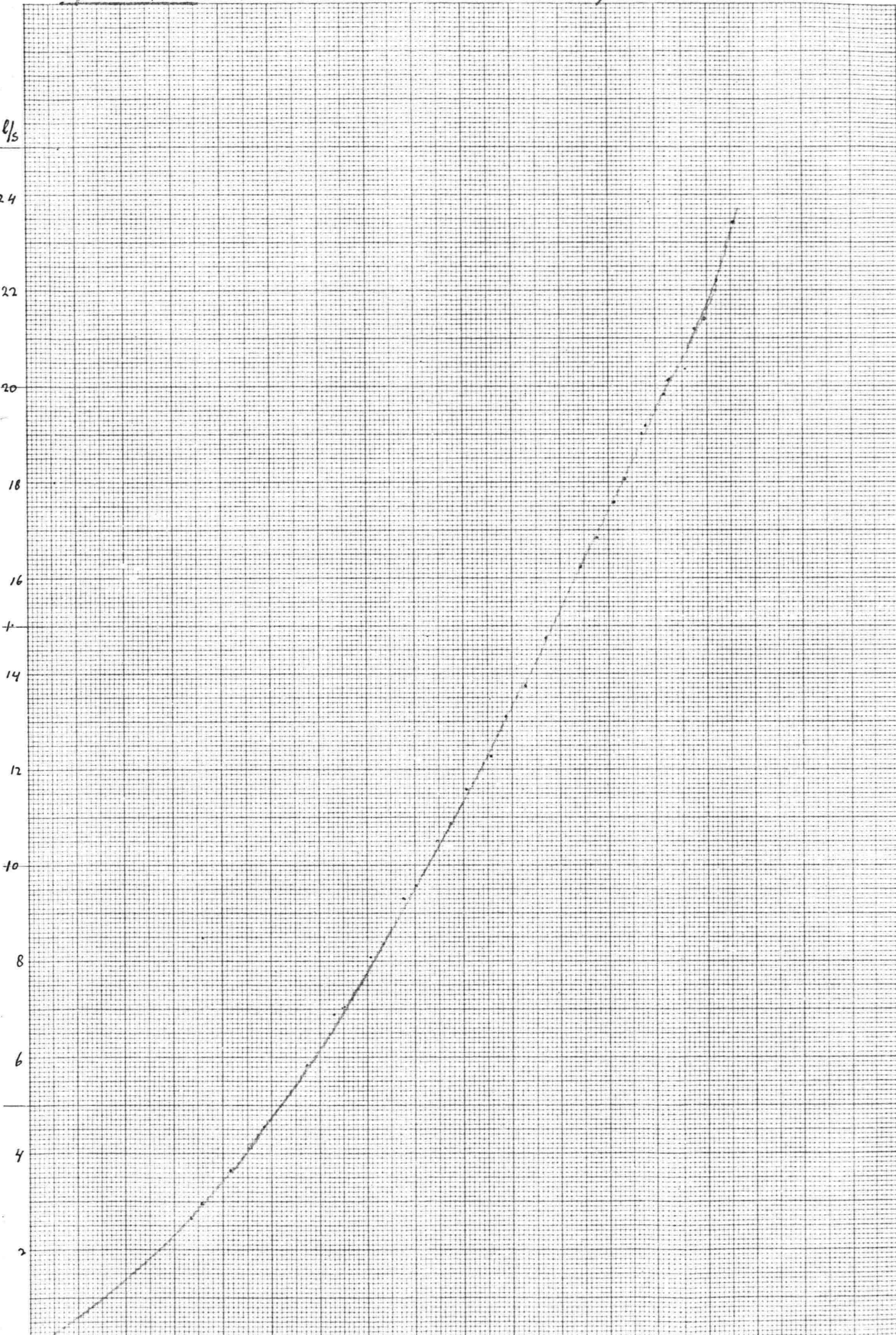
8

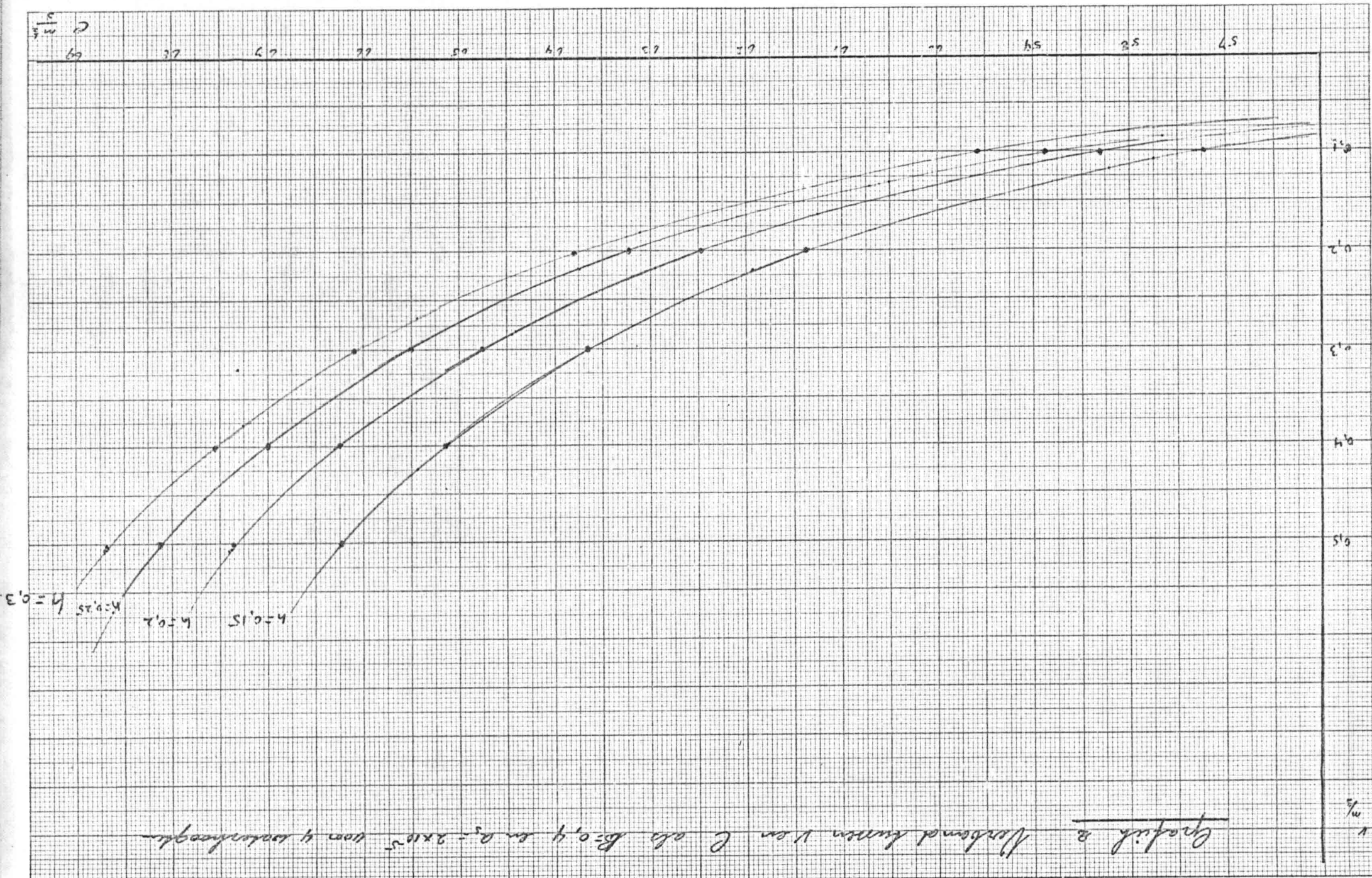
6

4

2

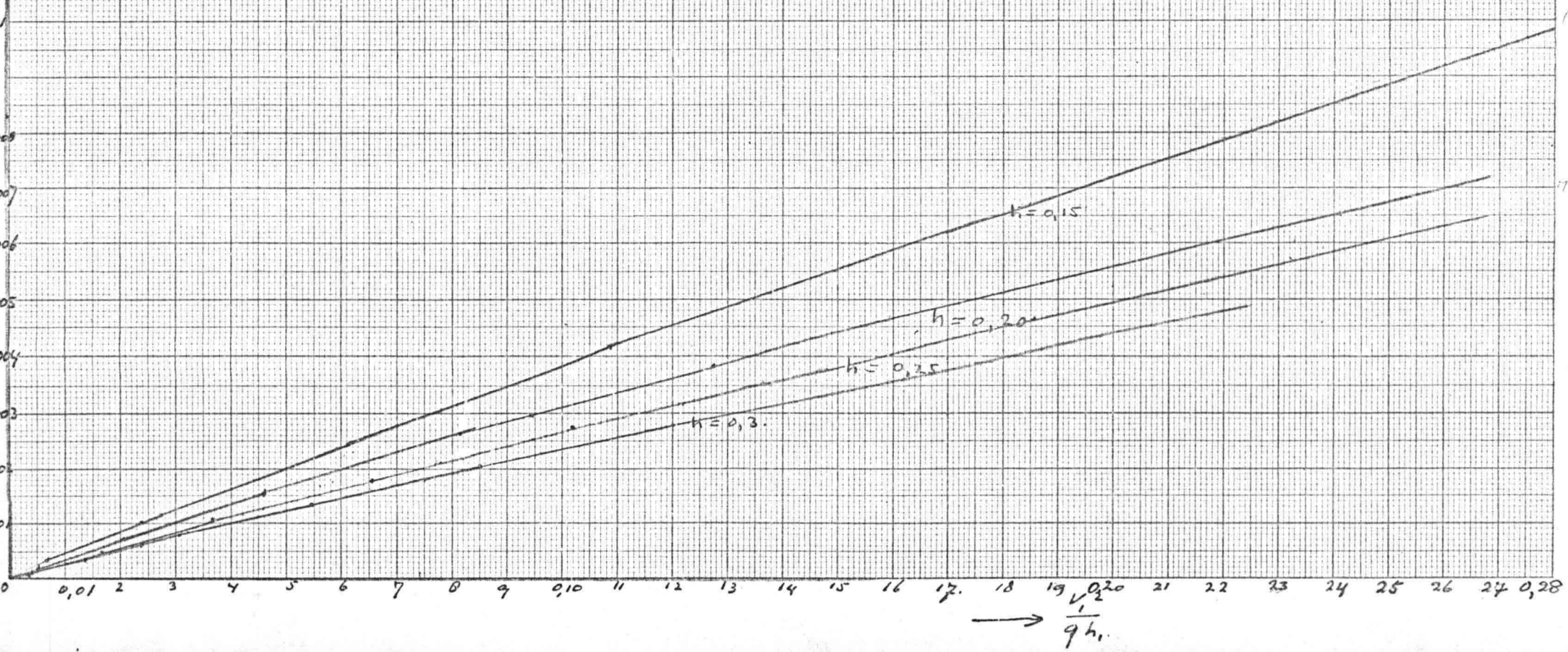
1





Grafisch 3

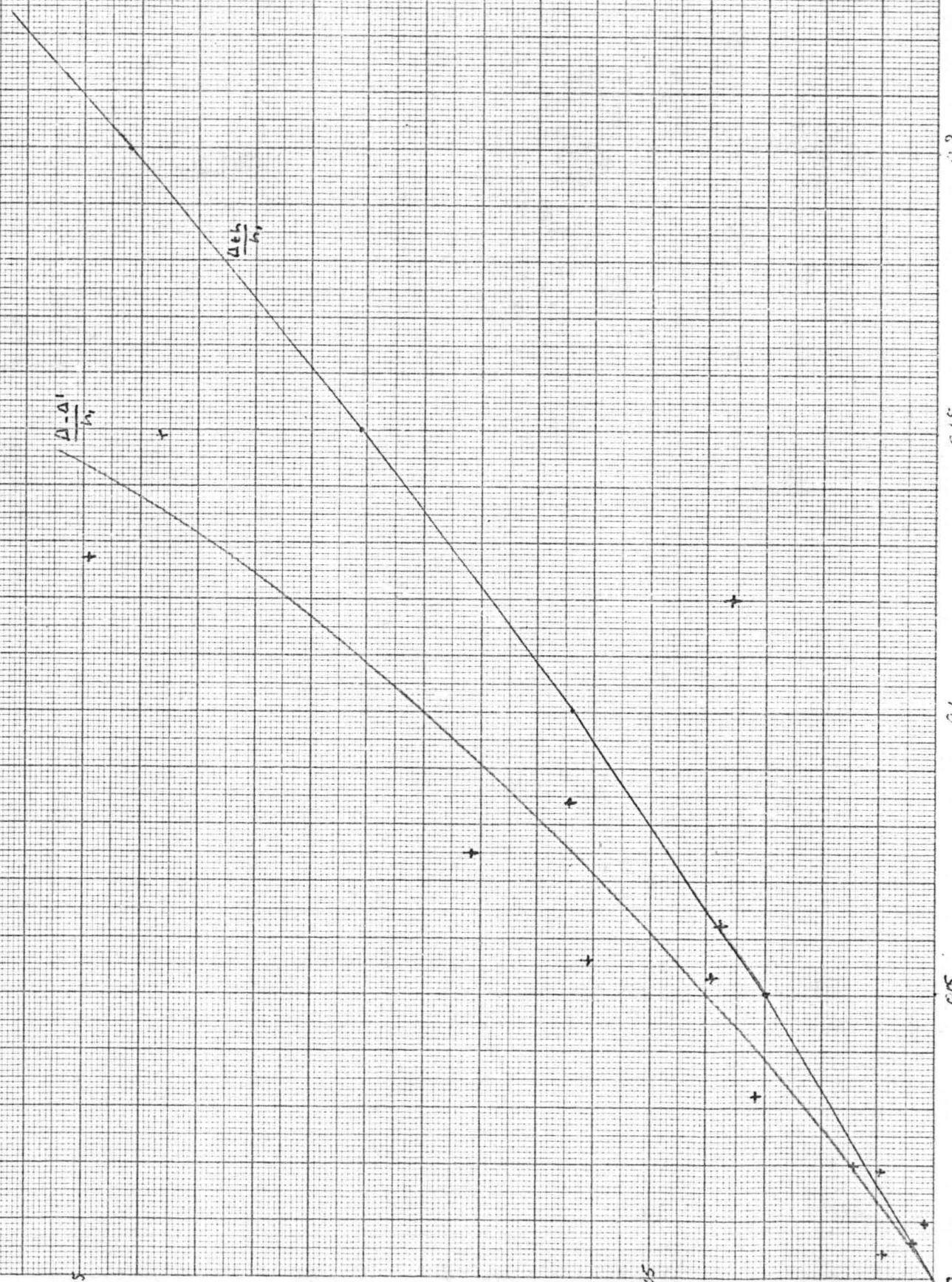
Verband tussen Δ' en $\frac{V_1^2}{q h_1}$ m. b.t de afvoer in de goot.



13

Graphik 4

- Theoretisch $\frac{C_2}{C_1} = 1,107$
- + gemessen (zweiter und dritter Versuch)
- Cylinder im ersten Versuch
- $\approx \frac{\Delta - \Delta'}{\Delta} \approx 1,4\%$
- $\approx \frac{\Delta - \Delta'}{\Delta} \approx 1,4\%$



0,1

0,2

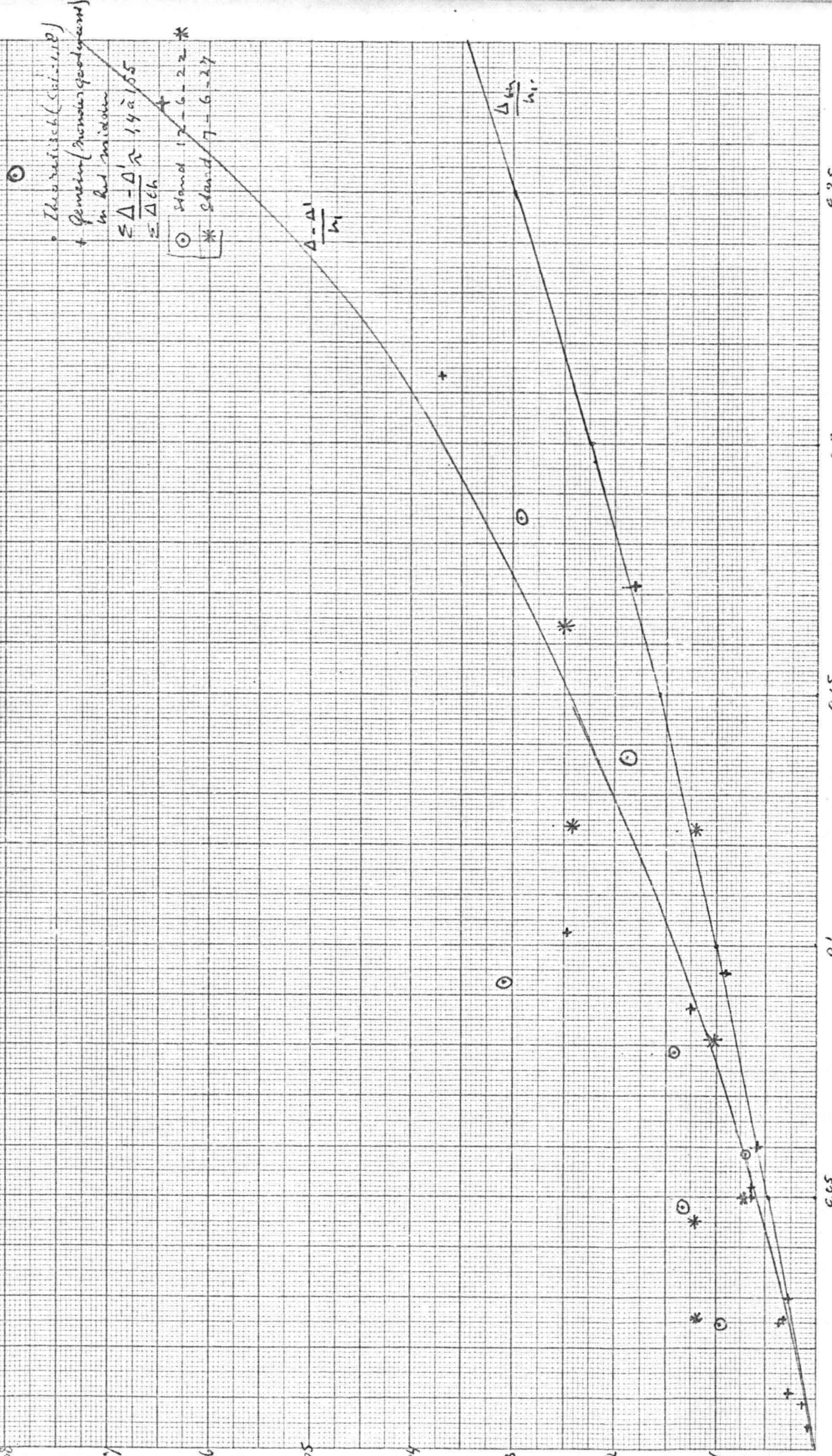
0,3

0,4

0,5

0,6

 $\frac{C_2}{C_1}$

Graphik 5

$$\frac{c_1}{g h}$$

0,2

0,15

0,1

0,05

Geometrie 6

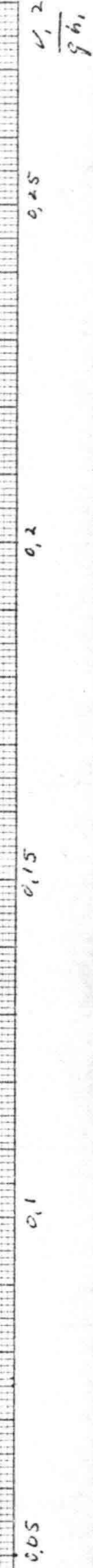
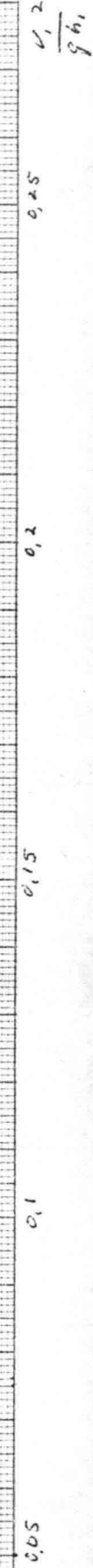
Theoretische $\text{Lcd} = 1,18^\circ$

- + Incidenzwinkel (open bookwinkel) als $\frac{\Delta_1}{\Delta_4} > 0,15$ dann $\frac{\Delta_1}{\Delta_4} \rightarrow 0,08$
- ② Stand 10,5 - 9 - 20,5
- △ Stand 5,5 - 9 - 25,5
- * stand auf einer steilen Wand an

Theoretisch $(\text{Lcd} = 1,18^\circ)$

$$(\text{Lcd} \approx 2,4) \leq \frac{\Delta_1 - \Delta_1'}{\sum \Delta_{14}} = 2,03$$

$$\frac{\Delta_1 + \Delta_1'}{h_1}$$

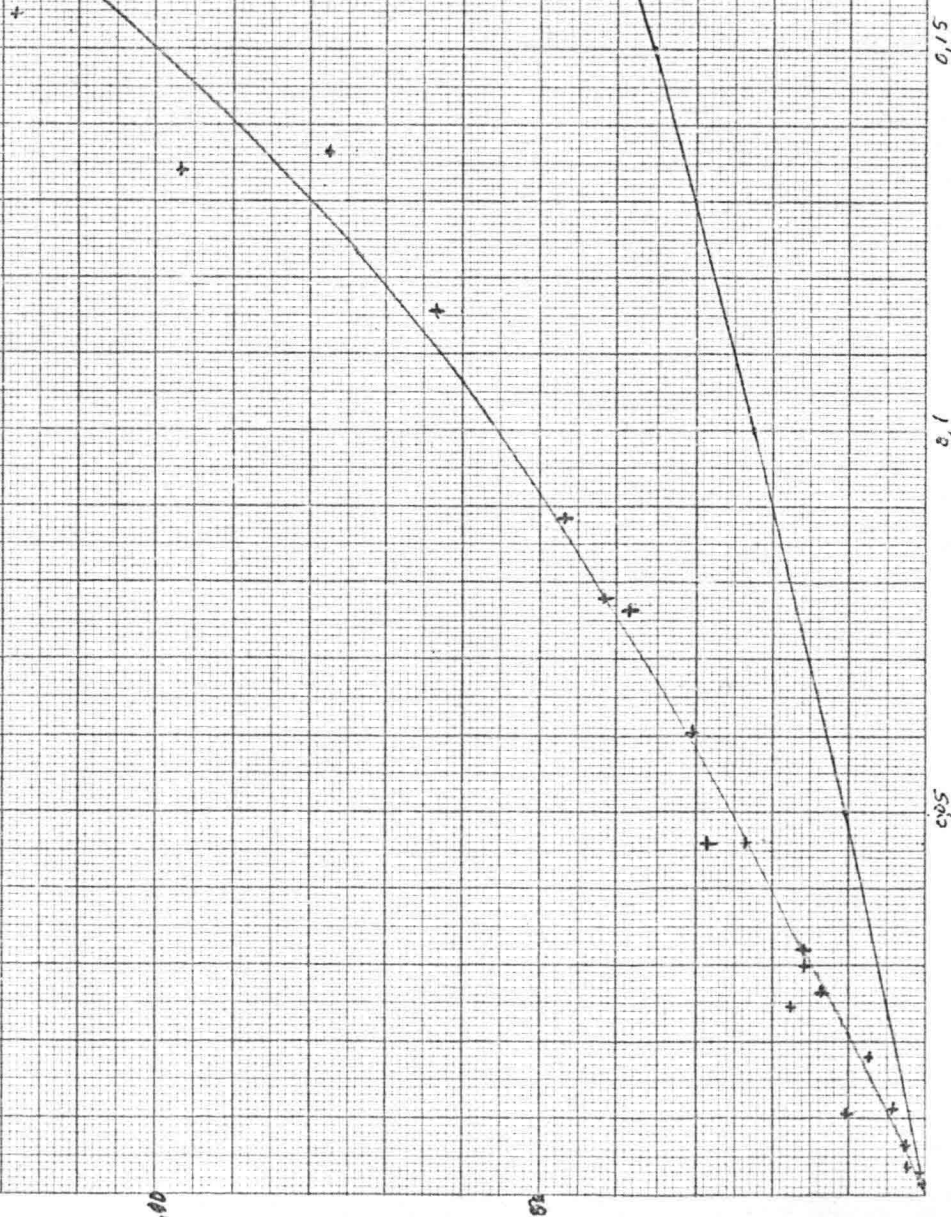


Graph 2

- Theoretisch ($C_d = 1,18$)
- + gemessen (geen goede overeenstemming)
- $\frac{\Delta - \Delta'}{h_1}$ wordt groter
- $\frac{\Delta_{th}}{h_1}$ maximaal 1,18 te bereiken.

$$\frac{1 - \Delta}{h_1}$$

$$\frac{\Delta - \Delta'}{h_1}$$



0,05

0,1

0,15

0,2

0,25

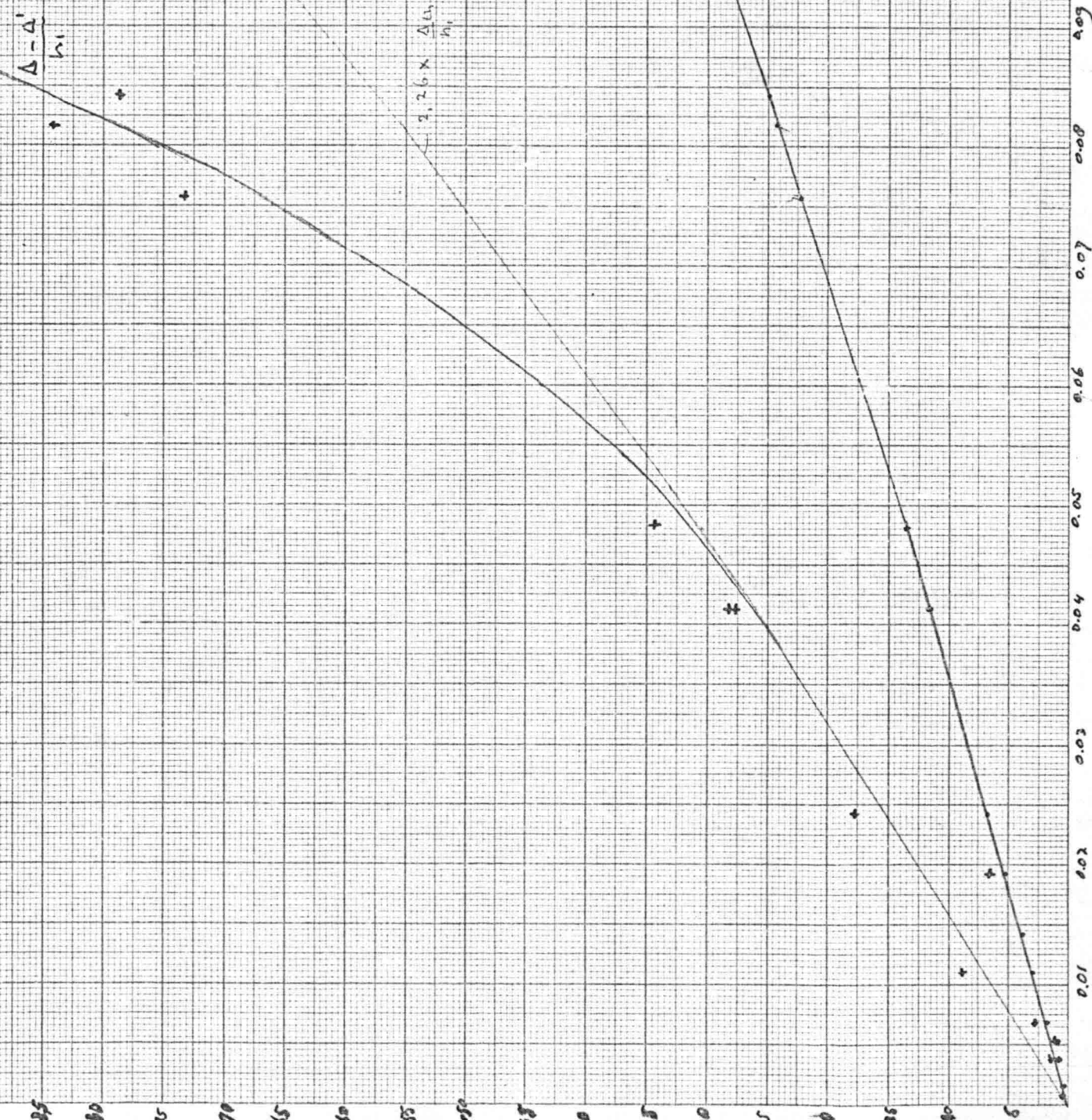
0,2

$\frac{1 - \Delta}{h_1}$

Graph 8

Theoretical

$$\begin{aligned}
 &+ \text{Grenzen} \\
 &(\text{per Goodverständ}) \\
 &\leq \frac{\Delta h}{h_i} = 2.66 \\
 &\leq \frac{\Delta h}{\Delta h_i} = 2.26
 \end{aligned}$$



Graph 9

Theoretical
+ generation (standard
hydrogen
overstand.

$$\begin{aligned} cd'_{\text{gen}} &= 1.504 \\ \frac{\zeta_{\text{std}}}{\zeta_{\text{std}'}} &= 0.27 \\ \zeta_{\text{std}} &= 0.64. \end{aligned}$$

$$\frac{A - A'}{h_1}$$

$$\frac{\Delta \zeta h}{h_1}$$

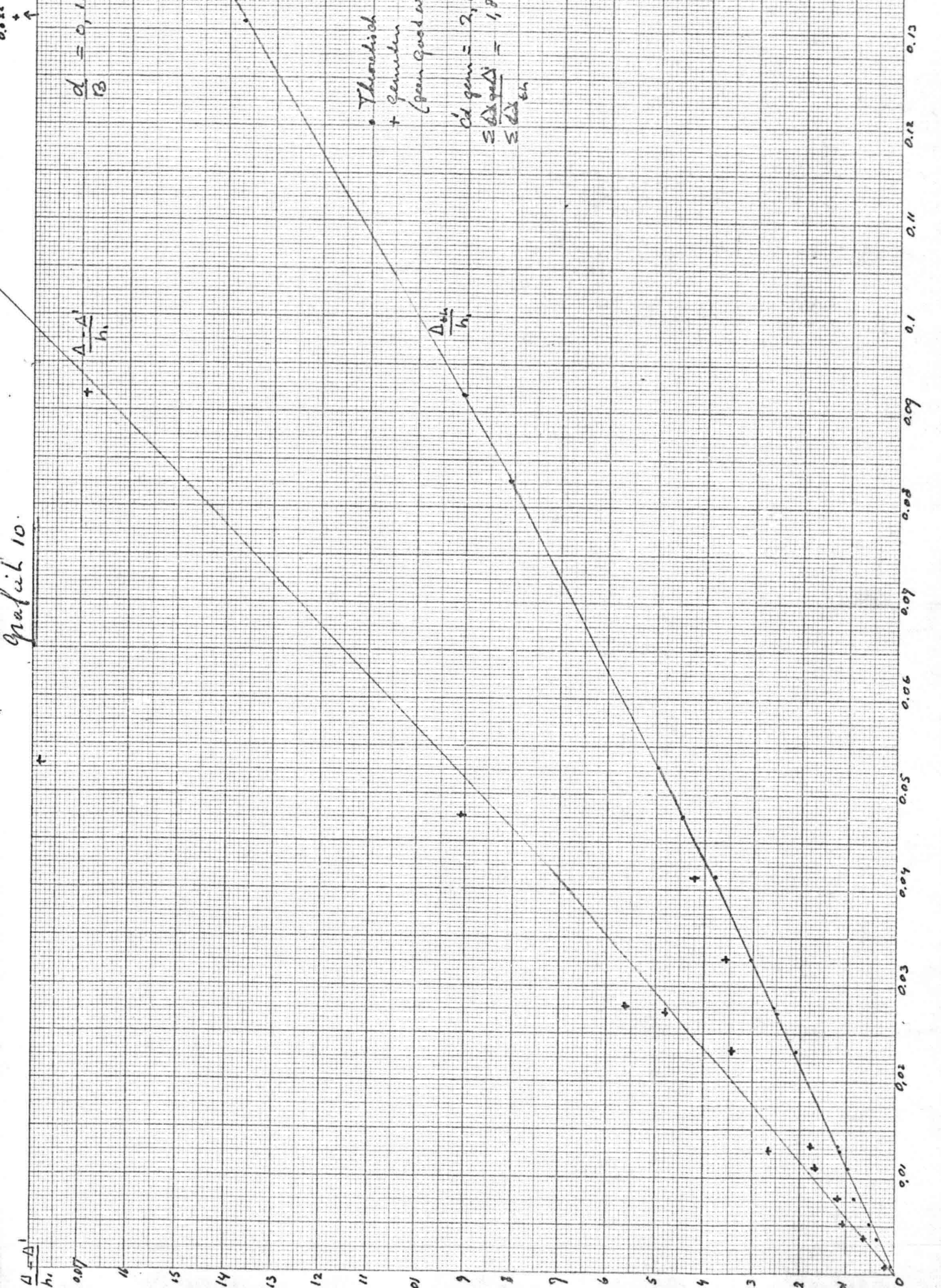
$$h = 0.5 \quad \frac{A'}{h_1} \text{ kg/g standard}$$

$$h = 0.25 \quad \frac{A'}{h_1}$$

$$h = 0.30 \quad \frac{A'}{h_1}$$



Graphik 10.

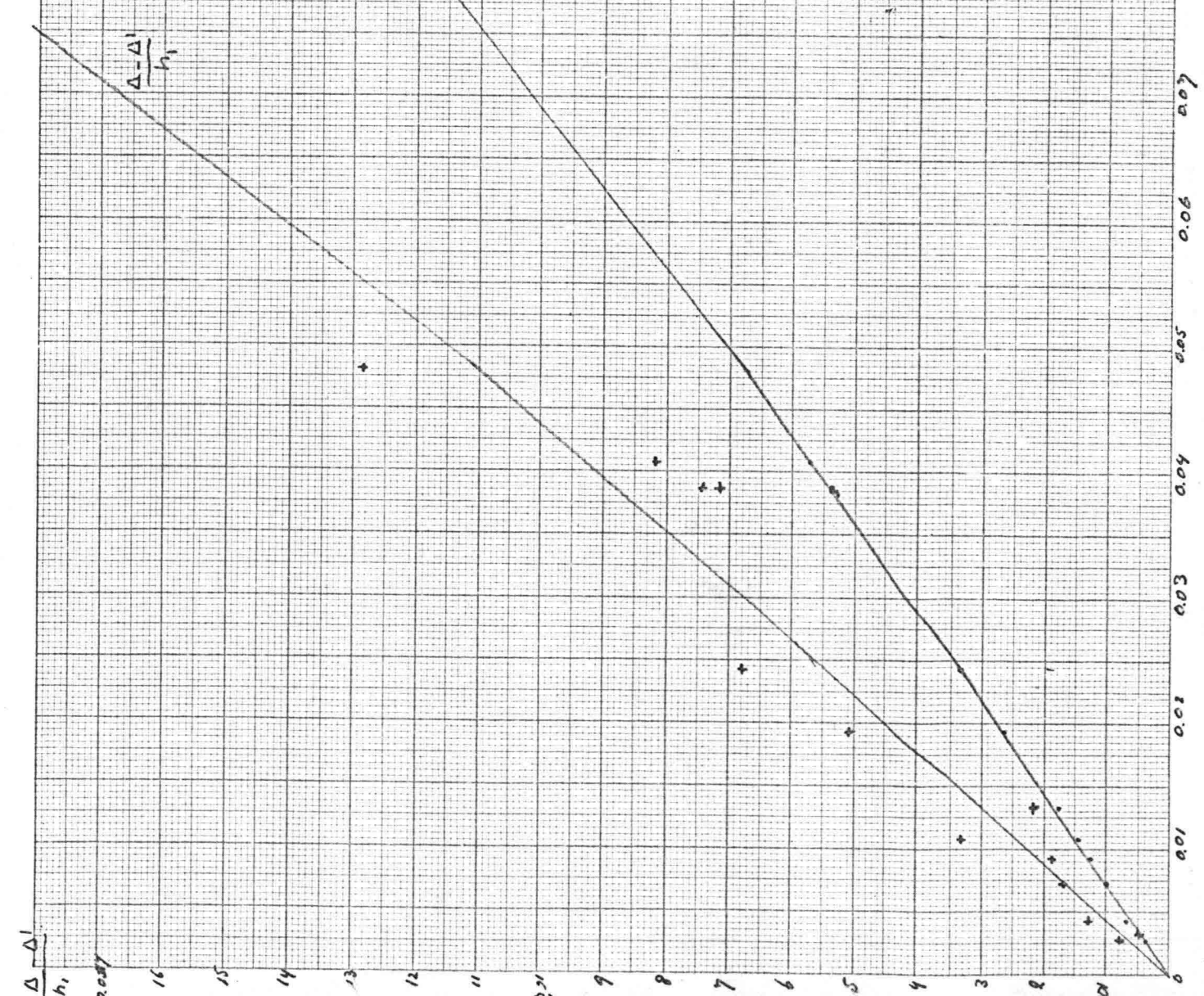


Grafik 11 a

13

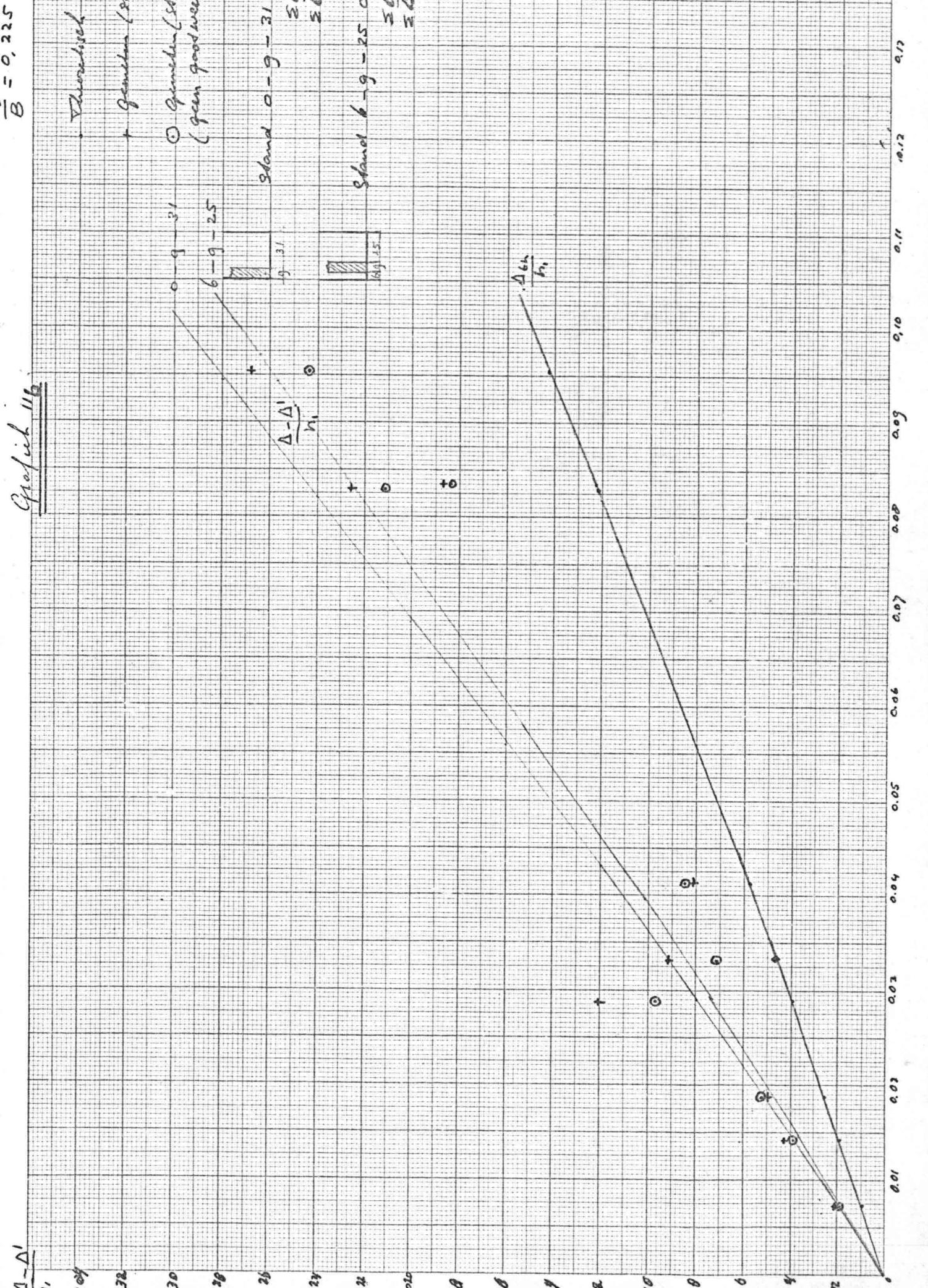
Theoretical
+ Gemessen (green points)

$$\frac{\Delta - \Delta_1}{h_1} = 1.93$$
$$\frac{\Delta - \Delta_1}{\sum \Delta_{\text{es}}} = 1.64$$

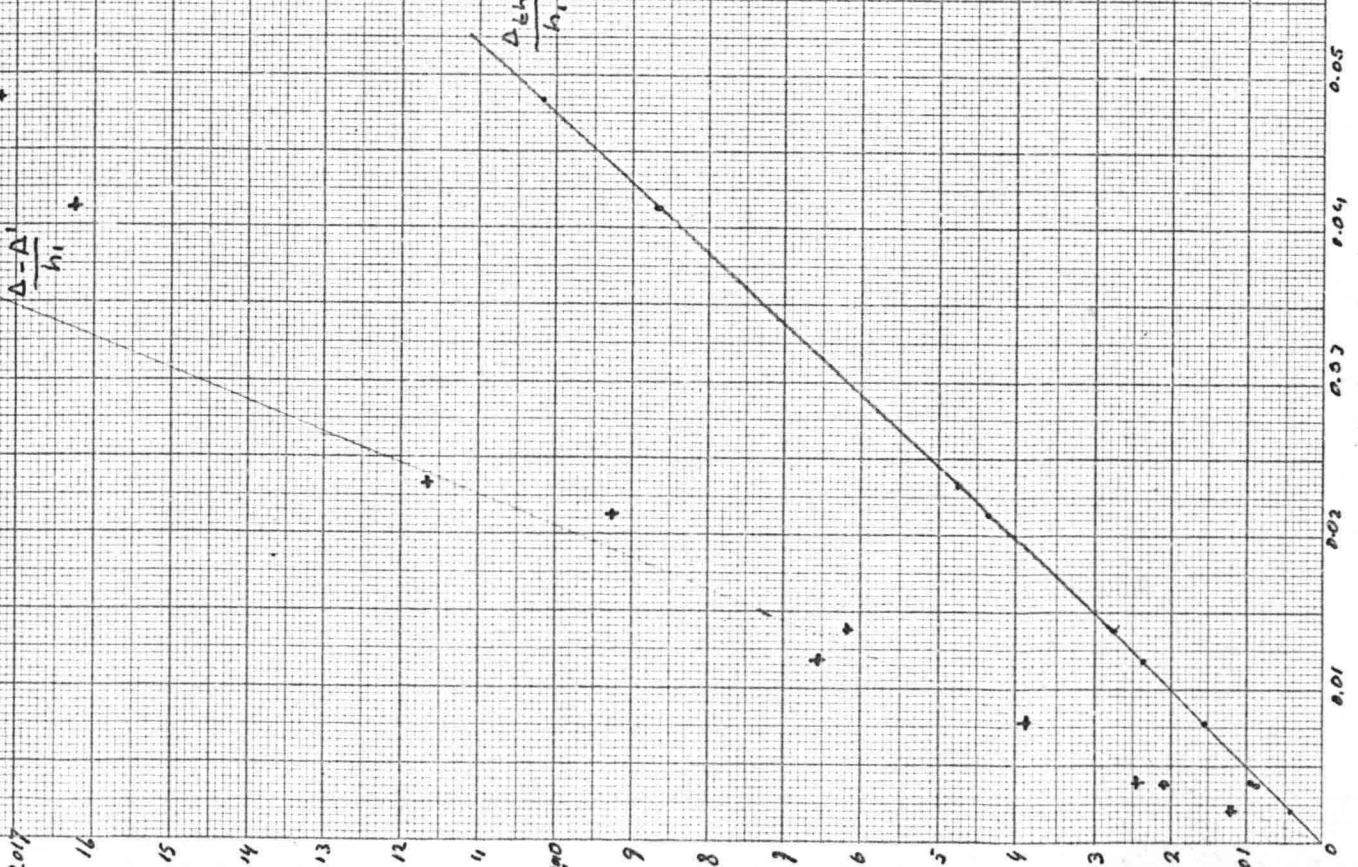


4/2
9/2

Graphik 116:



Graphik 12



Theoretisch ($Cd = 1.18$)

+ Gemesen
Lamotte und
Grau

$$\frac{\Delta_{\text{exp}}}{\Delta_{\text{theor}}} = 2.87$$

$$\frac{\Delta_{\text{exp}}}{\Delta_{\text{theor}}} = 2.93$$

$$\frac{\Delta_{\text{exp}}}{\Delta_{\text{theor}}} = 0.13$$

$$\frac{\Delta_{\text{exp}}}{\Delta_{\text{theor}}} = 0.14$$

Graph 13

$$Cd_{\text{geom}} = 2,18$$

$$Cd = 1,8$$

$$Fr_n = \frac{U}{\sqrt{gh}}$$

Graph 14

$$\frac{d}{B} = 0,09625$$

$$Cd_{\text{geom}} = 1,804$$

$$Cd = 1,8$$

$$0,4$$

$$0,2$$

$$0,1$$

$$Fr$$

$$0,3$$

$$0,5$$

F_F

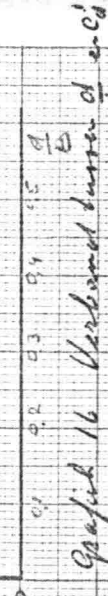
0.5

0.4

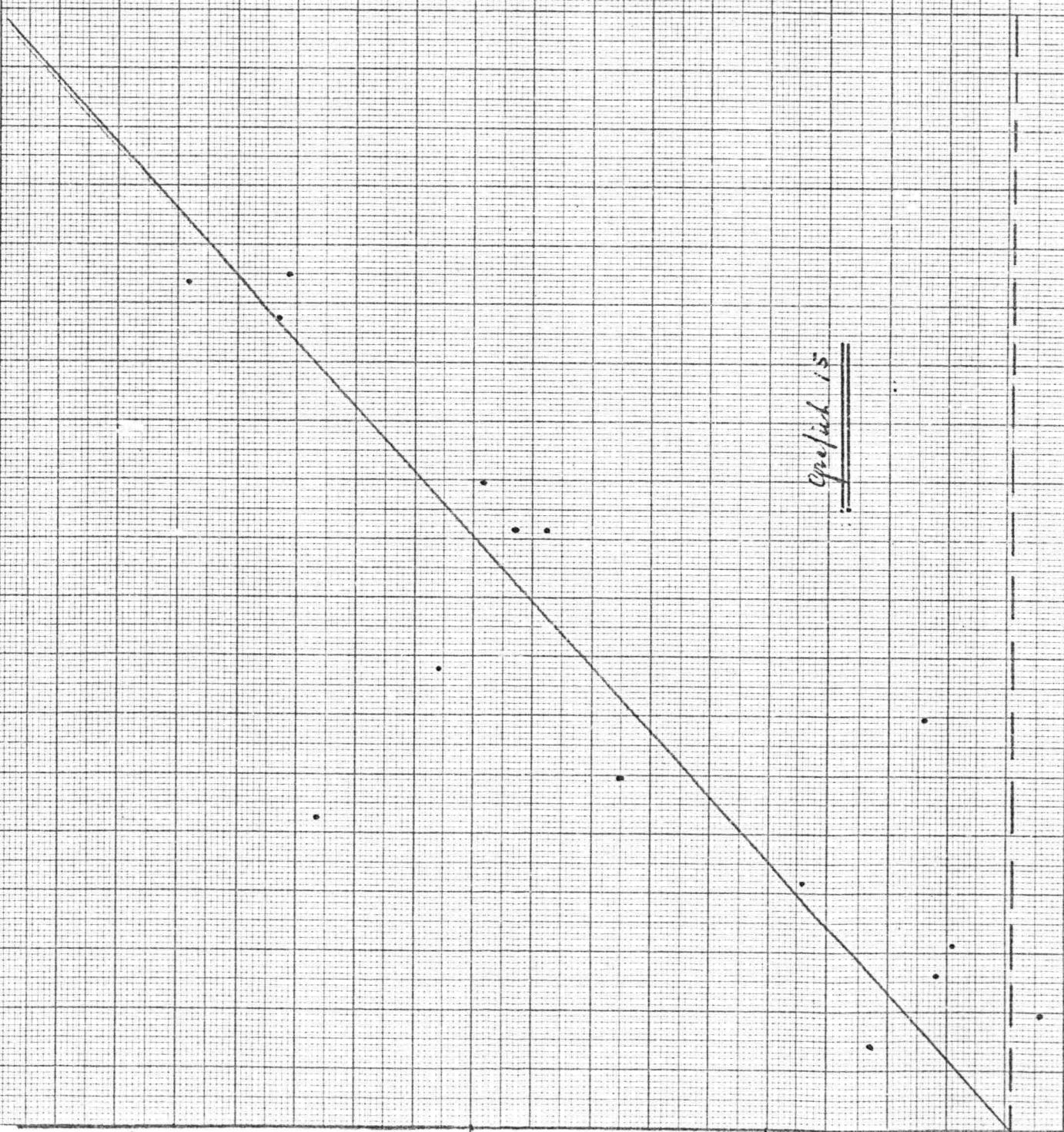
0.3

0.2

0.1

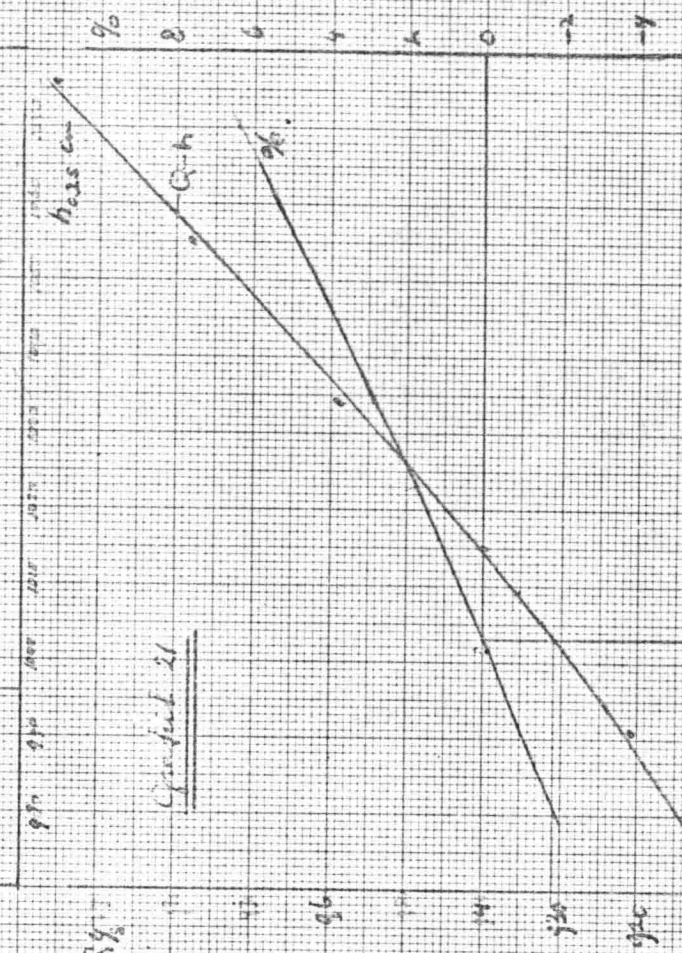
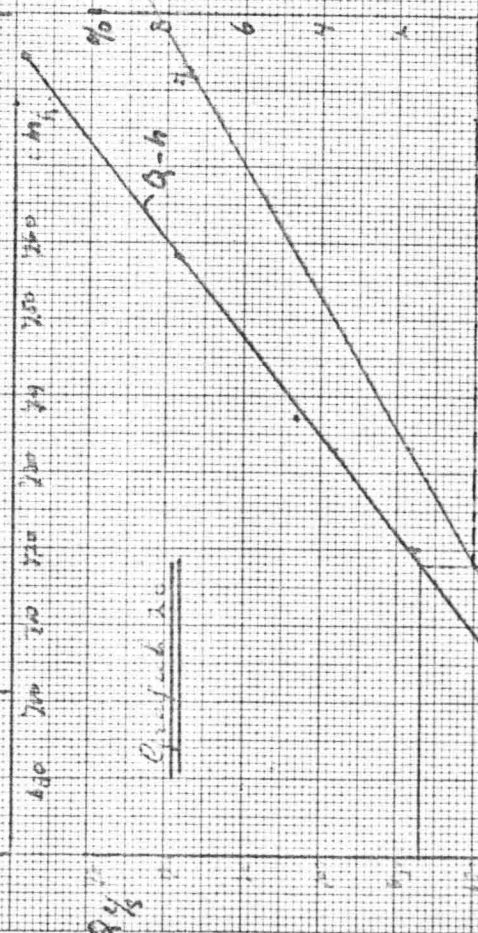
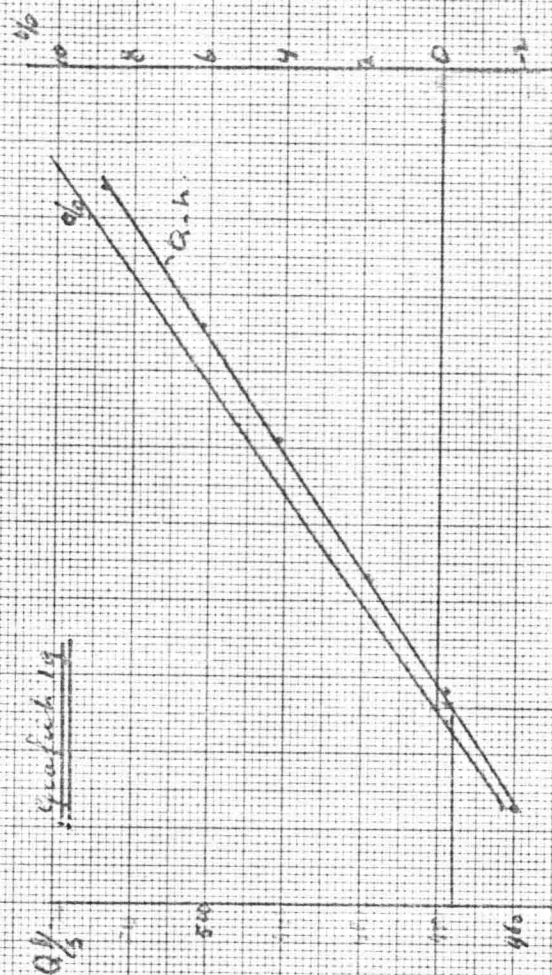


Graph 15



Grafik 17

Grafik 18



$b_0, 25 \text{ f} \text{Cm}$

$b_0, 25 \text{ f} \text{Cm}$

Graph 23

9%

12%

Graph 24

9%

12%

$\sim S-h$

10
8
6
4
2
0

$\sim Q-h$

6
4
2
0

4
2
0

1950
1970
1980
1990
2000

h_{max} Cu

10

9
8
6
4
2
0

6
4
2
0

4
2
0

2
0

2
0

4
2
0

1950
1970
1980
1990
2000

h_{max} Cu

$G\%$

graph 22

graph 25

$G-h$

%

8 6 4 2 0 -2 -4

%

h_{25} (ca)

$G\%$

100

120

140

160

180

200

220

240

260

280

300

320

340

E_2

E_1

E_0

E_{-1}

E_{-2}

E_{-3}

E_{-4}

E_{-5}

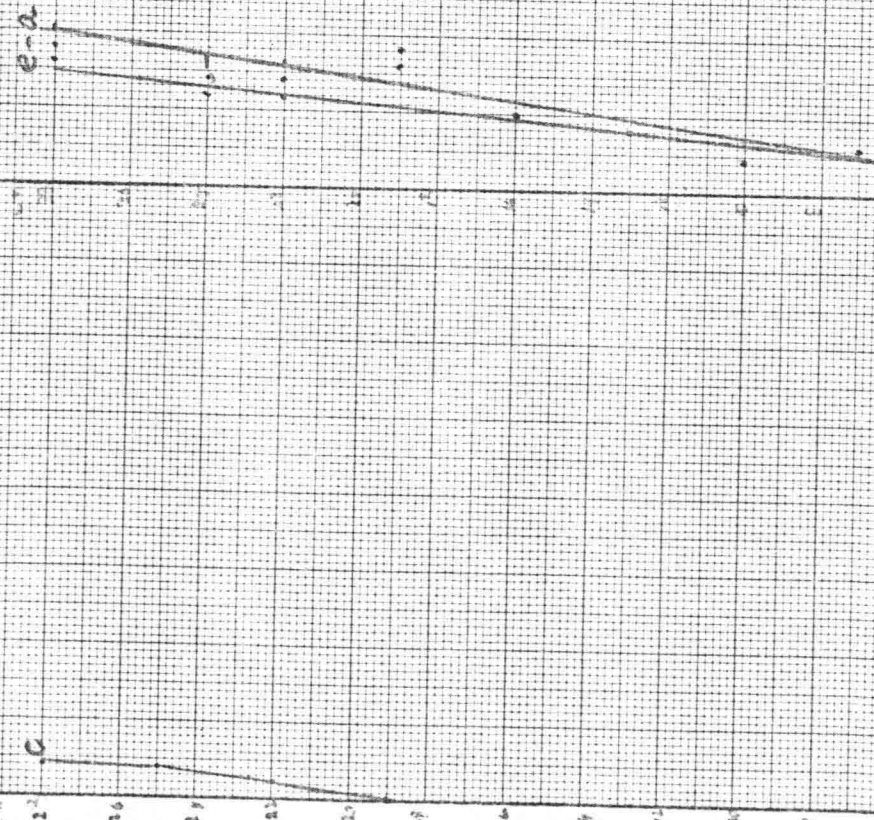
E_{-6}

E_{-7}

Graph 26

A

$h_{c,25}$

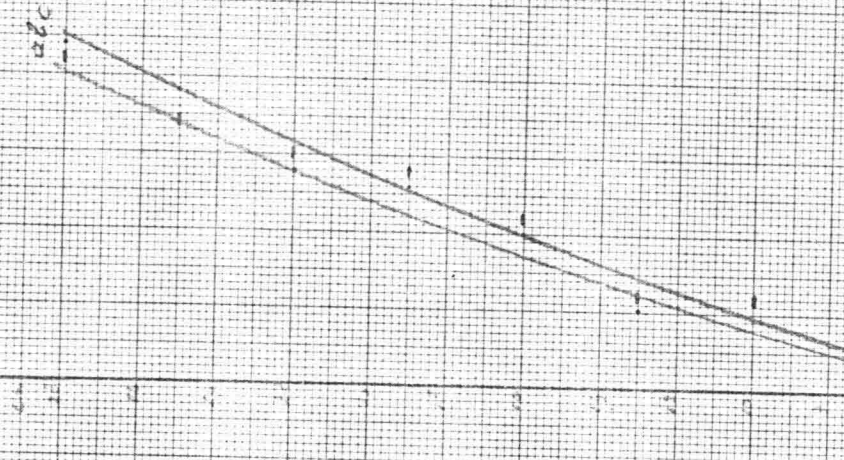


$h_{c,25}$ measured - $h_{c,25}$ max Gehrke

$h_{2,20}$ measured - $h_{2,20}$ Nominal Gehrke

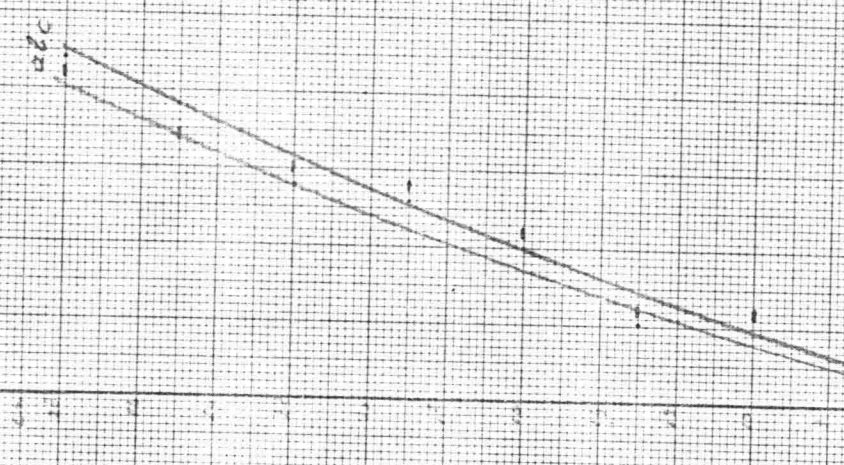
C

$h_{c,25}$

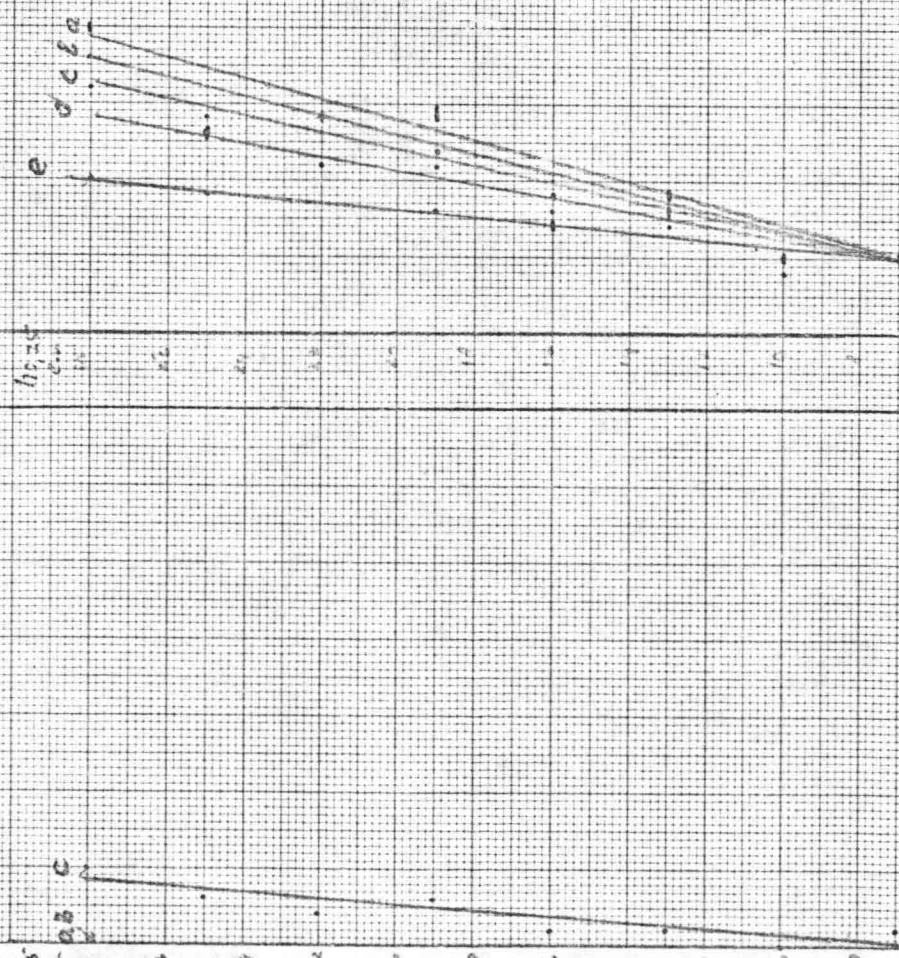


B

$h_{c,25}$



Graph 24 A



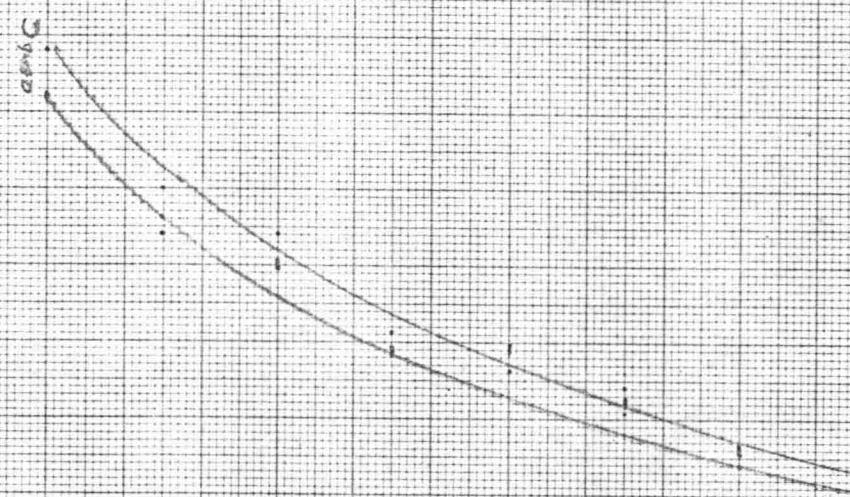
$h_{2,5}$ max. = 4.05 und Opt. = 3.20 mm

$r = 4.20$ und \rightarrow 2.30 mm - cylinder

B



C



$h_{2,5}$ max. = 4.05 und Opt. = 3.20 mm - cylinder

Graf 38

A

$$\frac{P_{3,15}}{P_{3,15}} = \frac{C}{C_0}$$

ab

$$= 26$$

$$= 24$$

$$= 22$$

$$= 20$$

$$= 18$$

$$= 16$$

$$= 14$$

$$= 12$$

$$= 10$$

$$= 8$$

$$= 6$$

ab

ab

Förslag 38
Rörmedel. = 70,15 mm
Materiel 2 cylinder

H2,0 med = 9,220 m²
H2,0 med 2 cylinder

H2,0 med = 17,220 m²
H2,0 med cylinder

$$Q_{dR}$$

c

$$\frac{P_{3,15}}{P_{3,15}} = C_0$$

ab

26

24

22

20

18

16

14

12

10

8

6

4

2

0

B

$$\frac{P_{3,15}}{P_{3,15}} = C_0$$

c

$$Q_{dR}$$

d

e

$$c$$

b

a

f

g

h

i

j

k

l

m

n

o

p

q

r

C

$$\frac{P_{3,15}}{P_{3,15}} = C_0$$

c

$$a+b$$

10

8

6

4

2

0

2

4

6

8

10

12

14

16

18

20

Graph 29

A

b_{25}

cm

c
b
a

b_{25} versus b_{25} and b_{25}

b_{25} versus b_{25} and b_{25}

b_{25}

versus b_{25}

B

b_{25}

cm

d
e
j

b_{25}

cm

d
e
j

b_{25}

cm

d
e
j

C

b_{25}

cm

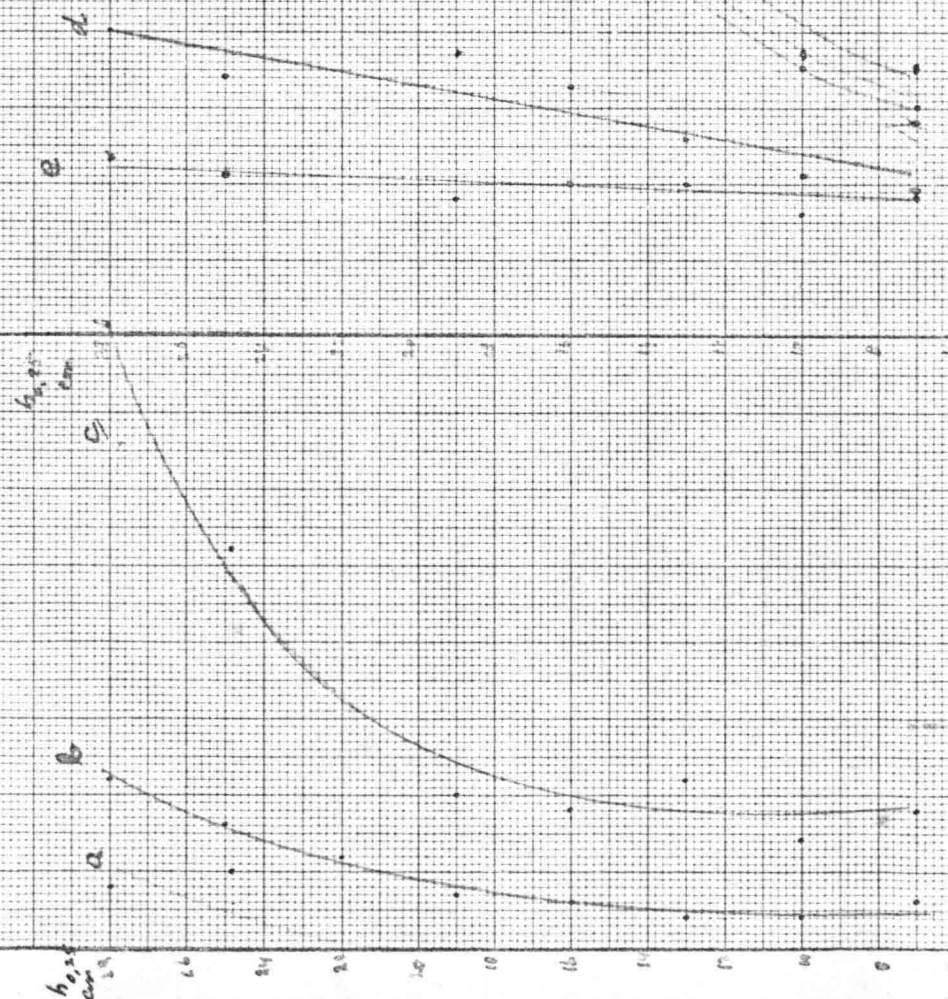
d
e
j

b_{25}

versus b_{25}

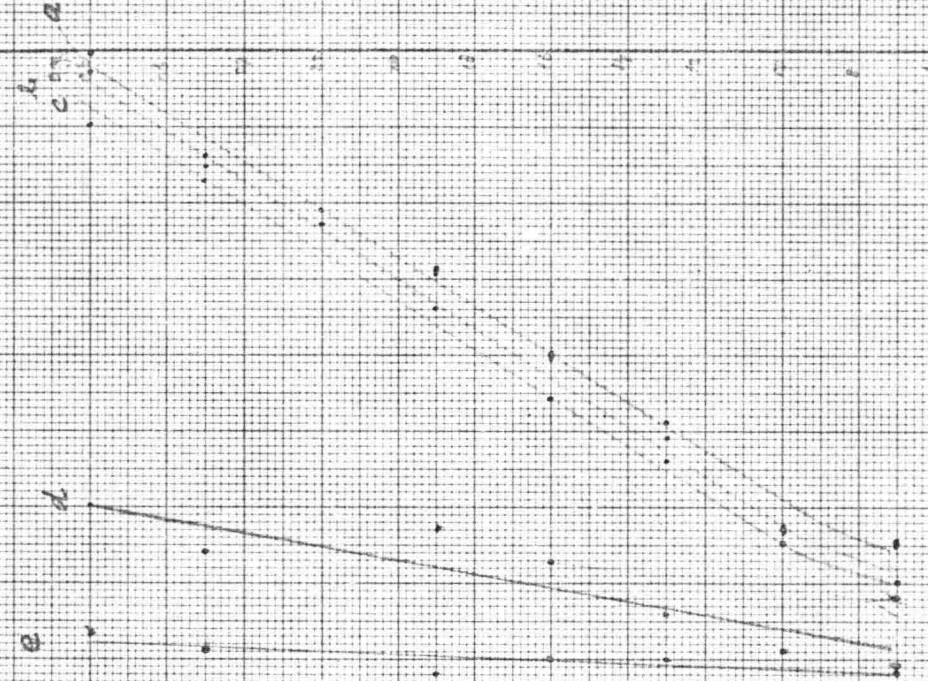
Graph 30

A

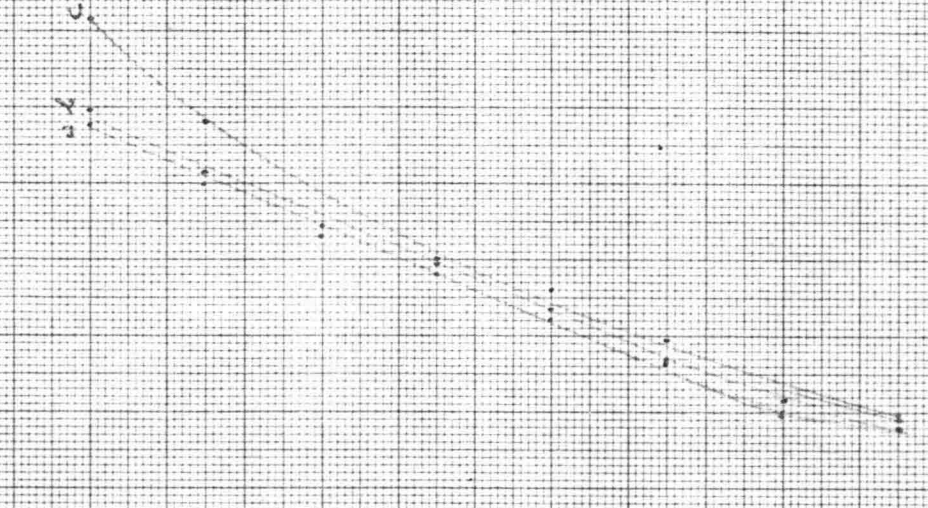


B

6.035



C

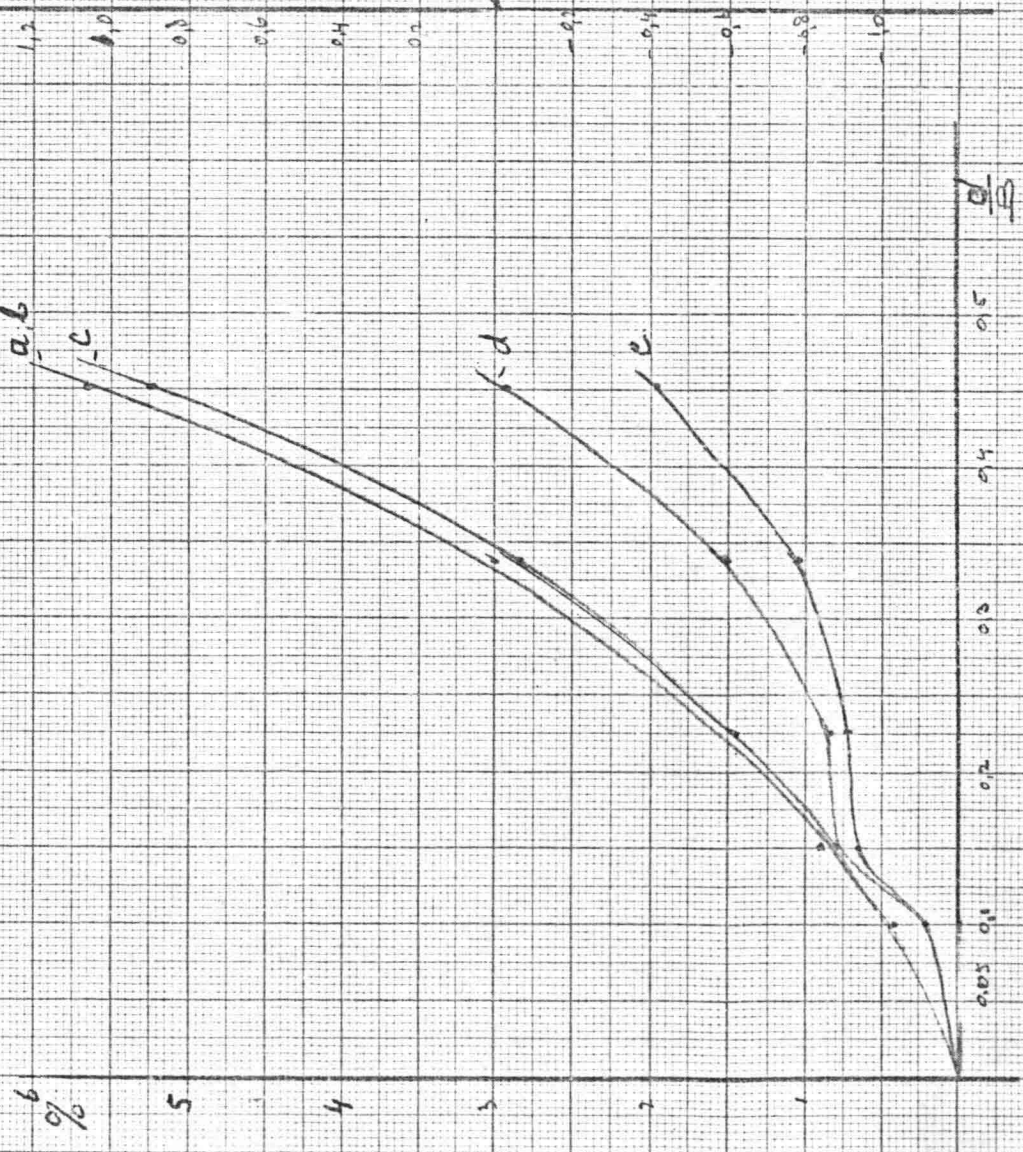


$h_{2,0}$ und $h_{c,0}$ in cm
h.cylinder = h.cylinder cylinder

$h_{2,0}$ und $h_{c,0}$ in cm
 $h_{2,0}$ = $h_{c,0}$ + 0.035 mott. cylinder

Graphik 31

abweichung von σ mit σ
 ϵ_1 bei $h = 0,25$ und $0,20$
 $\delta \sigma / \sigma$ von $h = 0,25$ abgestellt



Graphik 32

abweichung von σ und σ'
 ϵ_1 bei $h = 0,25$ und $0,20$
 $\delta \sigma / \sigma$ von $h = 0,25$ abgestellt



Tabel I. De afvoer Q met bijbehorende stuwhoogtes op 0,90 ; 0,60 ; 0,40 en 0,15 m voor begin van de versmalling van de Vensuri-goot

Q l/s	$h_{0.90}$ cm	$h_{0.60}$ cm	$h_{0.40}$ cm	$h_{0.15}$ cm
3.00	7.16	7.15	7.15	7.15
3.31	8.72	8.71	8.72	8.72
4.55	10.62	10.62	10.62	10.61
6.89	12.63	12.63	12.64	12.62
8.09	14.12	14.13	14.13	14.13
9.29	15.45	15.44	15.44	15.44
10.52	16.92	16.92	16.91	16.91
11.63	18.17	18.16	18.17	18.16
13.18	19.75	19.75	19.75	19.75
14.79	21.41	21.41	21.41	21.43
16.26	22.85	22.84	22.84	22.83
17.57	24.14	24.15	24.15	24.15
19.02	25.44	25.43	25.44	25.42
20.92	26.53	26.54	26.55	26.56
21.29	27.37	27.38	27.38	27.38
22.31	28.43	28.43	28.43	28.43

Tabel II. De afvoer Q met bijbehorende stuwhoogte $h_{0.25}$ rondom de stuwhoogden. (Vensuri-goot)

Q l/s	$h_{0.25}$ cm	Q l/s.	$h_{0.25}$ cm	Q l/s	$h_{0.25}$ cm
2.83	7.00	9.31	16.03	17.76	24.80
2.80	6.96	9.12	15.77	17.42	24.44
2.90	7.13	9.21	15.91	17.66	24.65
2.95	7.23	9.40	16.15	17.76	24.80
3.02	7.33	9.59	16.34	17.93	24.97
3.09	7.47	9.78	16.55	18.12	25.16
		9.96	16.86	18.24	25.39
4.68	9.96			18.41	25.62
4.60	9.83	11.86	18.93	18.66	25.83
4.69	9.98	12.02	19.14		
4.79	10.13	12.23	19.36	21.18	28.03
4.91	10.31	12.46	19.58	20.65	27.53
5.01	10.46	12.67	19.80	20.93	27.80
5.14	10.64			21.14	28.02
		14.77	22.01	21.40	28.24
6.87	12.98	14.67	21.90	21.81	28.54
6.67	12.72	14.83	22.07	22.18	28.85
6.77	12.86	15.01	22.25	22.52	29.15
6.87	13.00	15.33	22.43		
7.03	13.17	15.56	22.67		
7.18	13.38	15.72	22.81		
7.39	13.64				

Tabel III Berekening van de weerstandscoëfficiënten van Chery en van in het verval Δ' in de groot lge de vrijing volgens:
 $I = \frac{V^2}{C^2 R}$ en $C = 18 \log \frac{0,4R}{\frac{a_2}{8} + \frac{11,6 \cdot 10^{-6}}{105 V g \cdot R I_h}}$ waarin $R = \frac{b \cdot h}{b+2 \cdot h}$.
en $\Delta' = 1,4 \cdot I$.

h m	V m/s	R m	C aangenomen $\frac{m^2}{s}$	$I_{Haangenom}$ $\times 10^{-6}$	C $\frac{m^2}{s}$	$\frac{V^2}{g h_1}$	$\frac{\Delta'}{h_1}$	8
0,3	0,1	0,12	68	21,4	59,256			
			60	23,14	59,45			
			59,45	23,57	59,58	0,0034	0,00011	
0,3	0,2	0,12	60	92,59	64,15			
			64,15	80,99	63,72			
			63,92	82,10	63,77	0,0036	0,00038	
0,3	0,3	0,12	65	177,5	66,13			
			66,13	171,5	66,04	0,0306	0,00080	
0,3	0,4	0,12	69	280,0	67,44			
			67,44	293,6	67,57	0,0544	0,00136	
0,3	0,5	0,12	68,5	443,9	68,67			
			68,67	441,8	68,67	0,0850	0,00206	
0,25	0,1	0,0011	60	25,0	58,93			
			58,93	25,85	58,86	0,0040	0,00014	
0,25	0,2	0,1111	63	90,71	63,25			
			63,25	90,14	63,22	0,0163	0,00050	
0,25	0,3	0,1111	66	185,9	65,44			
			65,44	188,8	65,48	0,0367	0,00106	
0,25	0,4	0,1111	67	320	67,00	0,0652	0,00180	
0,25	0,5	0,1111	68,1	485	68,11	0,1019	0,00272	
0,20	0,1	0,1	58,4	29,32	58,28			
			58,28	29,42	58,30	0,0051	0,00021	
0,20	0,2	0,1	62,70	101,7	62,44			
			62,89	102,4	62,47	0,0204	0,00071	
0,20	0,3	0,1	64,9	213,6	64,73			
			64,75	214,6	64,75	0,0459	0,00150	
0,20	0,4	0,1	66,3	364	66,25	0,0815	0,00255	
0,20	0,5	0,1	67,4	550,3	67,35	0,1274	0,0386	
			67,35	551,1	67,35			
0,15	0,1	0,0857	57,6	35,17	57,18			
			57,18	35,66	57,22	0,0068	0,00033	
0,15	0,2	0,0857	61,4	123,8	61,38	0,0272	0,00116	
0,15	0,3	0,0857	63,65	259,2	63,64	0,0672	0,00242	
0,15	0,4	0,0857	65,15	439,8	65,14	0,1087	0,00411	
0,15	0,5	0,0857	66,2	665,6	66,23	0,1699	0,00620	

Tabel IIIa $h_{2.20}$; $h_{0.25}$ en Q , verval tussen 2.20 en 0.25, snelheid en gesel van Froude en het percentage dat $Q_{2.20}$ afwijkt van $Q_{0.25}$ bij afwijkend van een cylinder.

Q l/s	$h_{2.20}$ m	$h'_{0.25}$ S.Bu. m	$h_{0.25}$ peilwater m	Verval m	V m/s	Froude	%
2.83	0.0701	0.0700	0.0700	0.0001	0.204	0.247	0,2
4.68	0.0998	0.0966	0.0997	0.0002	0.235	0.238	0,4
6.87	0.1300	0.1298	0.0298	0.0003	0.267	0.237	0,3
9.31	0.1607	0.1603	0.1604	0.0004	0.293	0.235	0,3
11.86	0.1898	0.1893	0.1894	0.0005	0.315	0.231	0,3
14.77	0.2207	0.2200	0.2201	0.0007	0.341	0.232	0,4
17.76	0.2489	0.2480	0.2480	0.0009	0.359	0.230	0,35
21.18	0.2814	0.2803	0.2804	0.0011	0.380	0.229	0,6

Tabel III De afwijking van Q in procenten als ~~van~~ de niveaumeting op een plaats 10 cm voor resp. plaats a, b en c verricht wordt bij aan weinigheid van de cylinder op deze plaatsen in plaats van $h_{0.25}$ in de ongerede de goed.

Plaats	Diameter cylinder					Opmerking
	0,02	0,03	0,045	0,067	0,09	
a	0,76	1,24	1,79	3,39	6,00	% lab. VII + 0,34%
b	0,60	1,07	1,62	3,22	5,82	% lab. VII + 0,17%
c	0,53	1,01	1,56	3,16	5,76	% lab. VII + 0,11%

Opmerking: Deze afwijking van Q voor de plaatsen d en e zijn te vinden in tabel VII onder d en e.

Tabel IIb Nieuwsg.

Q l/s	plaats a			plaats b			plaats c			plaats d			plaats e		
	h _{2.20} cm	h _{0.25} cm	Δ cm	h _{2.20} cm	h _{0.25} cm	Δ cm	h _{2.20} cm	h _{0.25} cm	Δ cm	h _{2.20} cm	h _{0.25} cm	Δ cm	h _{2.20} cm	h _{0.25} cm	Δ cm
	diameter	0,0675 m													
2.85	7.20	6.99	0.21	7.20	6.98	0.22	7.17	6.96	0.21	7.13	7.09	0.04	7.13	7.10	0.03
4.70	10.17	9.96	0.21	10.16	9.95	0.21	10.16	9.91	0.25	10.08	10.09	-0.01	10.08	10.08	0.00
6.91	13.27	12.98	0.29	13.26	12.97	0.29	13.24	12.90	0.34	13.15	13.12	0.03	13.10	13.06	0.04
9.40	16.42	16.04	0.38	16.40	16.01	0.39	16.40	15.90	0.50	16.21	16.18	0.03	16.14	16.00	0.04
11.91	19.36	18.94	0.42	19.36	18.91	0.45	19.33	18.80	0.53	19.16	19.10	0.06	19.05	19.00	0.05
14.99	22.51	22.02	0.49	22.49	21.98	0.51	22.49	21.88	0.61	22.26	22.21	0.05	22.19	22.14	0.05
17.80	25.34	24.78	0.56	25.34	24.74	0.57	25.34	24.65	0.69	25.13	25.04	0.09	25.03	24.95	0.08
21.24	28.71	28.00	0.71	28.69	27.98	0.71	28.66	27.80	0.86	28.40	28.29	0.11	28.29	28.18	0.16
	diameter 0,09 m														
2.85	7.35	6.99	0.36	7.35	6.97	0.38	7.30	6.91	0.39	7.28	7.24	0.04	7.18	7.13	0.05
4.70	10.35	9.96	0.39	10.35	9.95	0.40	10.33	9.90	0.43	10.19	10.20	-0.01	10.14	10.14	0.00
6.91	13.51	12.98	0.53	13.49	12.96	0.53	13.46	12.87	0.59	13.26	13.24	0.02	13.20	13.17	0.03
9.40	16.67	16.03	0.64	16.67	16.00	0.67	16.67	15.95	0.72	16.36	16.34	0.02	16.27	16.26	0.02
11.91	19.69	18.93	0.76	19.69	18.90	0.79	19.64	18.84	0.80	19.30	19.25	0.05	19.16	19.10	0.06
14.99	22.86	22.00	0.86	22.84	21.95	0.89									
17.80	25.75	24.75	1.00	25.74	24.72	1.03	25.72	24.54	1.18	25.23	25.14	0.09	25.10	25.01	0.09
21.24	29.14	27.99	1.15	29.11	27.92	1.19	29.04	27.61	1.43	28.54	28.44	0.11	28.37	28.26	0.11

pompen
gedopt.

Tabel IV

De afwijking van Q in procenten als voor de standaardhoogtemeting
 h_{220} genomen wordt bij aanwezigheid van de cylinder i.p.v. h_{220} onder.

h_{220} onder cm	$d = 0,02$ % m	$d = 0,03$ % m	$d = 0,045$ % m	$d = 0,0675$ % m	$d = 0,09$ % m
plaats a	0.4				
7.01	0.3	0.9	1.4	3.8	6.9
9.98	0.3	0.8	1.4	2.9	5.2
13.00	0.4	1.0	1.6	3.0	5.8
16.07	0.6	0.8	1.4	3.2	5.6
18.98	0.6	1.0	1.4	2.8	5.6
22.07	0.8	1.0	1.6	3.4	6.3
24.89	0.5	0.6	1.2	2.1	4.2
28.14		1.1	1.6	9.2	5.6
Gemiddeld	<u>0.425</u>	<u>0.90</u>	<u>1.45</u>	<u>3.05</u>	<u>5.65</u>
Op plaats bzelfde percentages als op plaats a					
plaats c					
7.01	0.4	0.9	1.4	3.4	5.9
9.98	0.3	0.8	1.4	2.6	5.0
13.00	0.3	1.0	1.6	2.7	5.2
16.07	0.4	0.8	1.4	3.0	5.6
18.98	0.6	1.0	1.4	2.6	5.3
22.07	0.6	1.0	1.6	3.3	—
24.89	0.3	0.6	1.2	2.1	—
28.14	0.5	1.1	1.6	3.0	5.2
Gemiddeld	<u>0.425</u>	<u>0.90</u>	<u>1.45</u>	<u>2.84</u>	<u>5.25</u>
plaats d					
7.01	0.4	0.9	0.8	2.6	5.5
9.98	0.3	—	0.9	1.5	3.0
13.00	0.4	0.9	0.9	1.7	3.0
16.07	0.4	0.6	0.8	1.2	3.1
18.98	0.6	0.8	0.8	1.3	2.2
22.07	0.4	1.0	1.0	1.4	—
24.89	0.3	0.6	0.6	1.0	1.5
28.14	0.5	0.9	1.0	1.4	2.3
Gemiddeld	<u>0.41</u>	<u>0.81</u>	<u>0.85</u>	<u>1.81</u>	<u>2.95</u>
plaats e					
7.01	0.4	0.9	0.8	2.6	3.6
9.98	0.3	0.6	0.8	1.5	2.6
13.00	0.4	0.8	0.8	1.1	2.3
16.07	0.4	0.6	0.6	0.6	1.7
18.98	0.6	0.6	0.6	0.5	1.3
22.07	0.4	0.8	0.7	0.8	—
24.89	0.3	0.4	0.4	0.6	0.9
28.14	0.4	0.6	1.0	0.8	1.3
Gemiddeld	<u>0.4</u>	<u>0.66</u>	<u>0.71</u>	<u>1.06</u>	<u>1.96</u>

Tabel VII. De afwijking van Q in procenten als de schuinhoogtemeting $h_{0,25}$ genomen wordt bij aanwezigheid van een cilinder op.v. $h_{0,25}$ zonder cilinder.

$h_{0,25}$ ongedraaid (cm)	$d=0,02m$ %	$d=0,03m$ %	$d=0,045m$ %	$d=0,0675m$ %	$d=0,09m$ %
plaats a					
9.00	0	0	0	-0.1	-0.1
9.96	-0.2	-0.1	0	0	0
12.98	0	0	0	0	0
16.01	-0.2	0	+0.05	+0.05	0
18.93	0	+0.1	+0.05	+0.05	0
22.01	0	0	+0.05	+0.05	-0.05
24.80	0	0	0	-0.1	-0.2
28.03	0	0	+0.05	-0.2	-0.25
Gemiddeld	<u>-0.025</u>	<u>0</u>	<u>+0.025</u>	<u>-0.031</u>	<u>-0.075</u>
plaats b					
9.00	0	-0.1	-0.1	-0.3	-0.5
9.96	-0.2	0	0	-0.1	-0.1
12.98	0	-0.15	-0.15	-0.15	-0.3
16.01	-0.1	0	+0.05	-0.2	-0.3
18.93	+0.05	+0.1	0	-0.15	-0.2
22.01	0	0	+0.05	-0.25	-0.4
24.80	0	0	-0.05	-0.15	-0.3
28.03	0	0	0	-0.3	-0.6
Gemiddeld	<u>-0.031</u>	<u>-0.018</u>	<u>-0.025</u>	<u>-0.2</u>	<u>-0.337</u>
plaats c					
9.00	0	-0.1	-0.3	-0.9	-1.9
9.96	-0.1	-0.1	-0.2	-0.6	-0.8
12.98	-0.15	-0.15	-0.6	-0.95	-1.3
16.01	0	-0.1	-0.5	-1.1	-0.7
18.93	0	-0.1	-0.5	-1.0	-0.7
22.01	-0.1	-0.2	-0.4	-0.9	-
24.80	-0.1	-0.15	-0.2	-0.5	-0.8
28.03	-0.1	-0.3	-0.55	-1.2	-2.15
Gemiddeld	<u>-0.0687</u>	<u>-0.157</u>	<u>-0.41</u>	<u>-0.894</u>	<u>-1.193</u>
plaats d					
9.00	0	-	0.6	1.6	+4.6
9.96	0.3	-	0.9	1.9	3.4
12.98	0.3	0.5	0.9	1.6	3.0
16.01	0.3	0.6	0.7	1.3	2.8
18.93	0.55	0.7	0.7	1.2	2.4
22.01	0.5	0.8	0.7	1.6	-
24.80	0.35	0.5	0.65	1.05	1.55
28.03	0.5	0.9	0.9	1.45	2.3
Gemiddeld	<u>+0.35</u>	<u>+0.667</u>	<u>+0.756</u>	<u>+1.462</u>	<u>+2.684</u>
plaats e					
9.00	0	0.4	0.6	1.8	2.4
9.96	0.5	0.6	0.8	1.7	2.6
12.98	0.4	0.5	0.5	0.9	2.2
16.01	0.4	0.6	0.5	0.6	1.9
18.93	0.55	0.45	0.3	0.45	1.2
22.01	0.45	0.6	0.45	0.9	-
24.80	0.3	0.35	0.4	0.6	0.9
28.03	0.5	0.6	0.7	0.8	1.3
Gemiddeld	<u>+0.3875</u>	<u>+0.512</u>	<u>+0.53</u>	<u>+0.969</u>	<u>+1.77</u>

diameter=0.0600 aantal metingen=10 Sluit 12 - 6 - 22

Q	h1	h2	Δ	v1	v2	Fr	$\frac{V^2}{gh}$	dh	cd	$\frac{\Delta - \Delta'}{h_1}$
0.03256	0.3009	0.2077	0.0032	0.271	0.273	0.157	0.0246	0.0031	5.547	0.00998
0.03287	0.2276	0.2257	0.0019	0.361	0.364	0.242	0.0586	0.0018	1.787	0.00659
0.03305	0.1556	0.1500	0.0056	0.531	0.551	0.430	0.1049	0.0045	2.054	0.02929
0.03327	0.1270	0.1142	0.0128	0.655	0.720	0.587	0.3446	0.0076	2.213	0.08579
0.04581	0.1742	0.1500	0.0158	0.657	0.720	0.503	0.2530	0.0108	3.125	0.07425
0.04556	0.2428	0.2347	0.0081	0.460	0.485	0.394	0.0924	0.0073	4.275	0.03086
0.04406	0.2007	0.2055	0.0042	0.375	0.380	0.210	0.0480	0.0040	3.600	0.01281
0.05759	0.2705	0.2047	0.0048	0.481	0.480	0.280	0.0784	0.0044	2.472	0.01413
0.05825	0.2506	0.2450	0.0056	0.581	0.504	0.371	0.1376	0.0048	1.841	0.01880
0.05331	0.1801	0.1507	0.0294	0.771	0.913	0.560	0.3204	0.0172	3.515	0.14047

diameter=0.0600 aantal metingen=10 Sluit 7 - 6 - 27.

Q	h1	A	h2	Δ	v1	v2	Fr	$\frac{V^2}{gh}$	dh	cd	$\frac{\Delta - \Delta'}{h_1}$
0.03256	0.2062	0.2024	0.0038	0.275	0.278	0.161	0.0259	0.0037	6.367	0.01213	
0.03278	0.2306	0.2375	0.0024	0.342	0.345	0.223	0.0497	0.0020	2.220	0.00726	
0.03318	0.1724	0.1755	0.0039	0.465	0.473	0.351	0.1232	0.0025	1.520	0.01206	
0.03323	0.1272	0.1133	0.0139	0.653	0.733	0.585	0.3422	0.0082	2.305	0.09427	
0.04541	0.1536	0.1323	0.0213	0.730	0.958	0.602	0.3624	0.0116	2.601	0.12567	
0.04516	0.2138	0.2127	0.0061	0.516	0.531	0.352	0.1239	0.0053	2.573	0.02438	
0.04446	0.3041	0.3000	0.0041	0.366	0.371	0.212	0.0449	0.0030	3.806	0.01238	
0.05875	0.3004	0.2055	0.0039	0.480	0.405	0.285	0.0812	0.0036	1.945	0.01032	
0.05903	0.2384	0.2314	0.0026	0.810	0.638	0.405	0.1640	0.0058	1.951	0.02496	
0.05892	0.1900	0.1850	0.0140	0.740	0.795	0.530	0.2809	0.0006	2.215	0.06255	

Diameter=0.0000 aantal metingen=18 midden

Q	h1	h2	A	v1	v2	Fr	$\frac{V^2}{gh}$	dH	Cd
0.00612	0.1026	0.1010	0.0007	0.151	0.152	0.150	0.0225	0.0007	2.622 0.00560
0.00613	0.1586	0.1584	0.0002	0.027	0.007	0.077	0.0059	0.0002	1.855 0.00096
0.00611	0.1984	0.1983	0.0001	0.077	0.077	0.055	0.0030	0.0001	1.474 0.00040
0.01346	0.0706	0.0660	0.0136	0.423	0.510	0.472	0.2205	0.0075	4.232 0.03880
0.01337	0.1037	0.1000	0.0037	0.522	0.334	0.320	0.1024	0.0033	2.722 0.00584
0.01324	0.1552	0.1541	0.0004	0.213	0.215	0.173	0.0299	0.0011	2.038 0.00198
0.01315	0.2039	0.2032	0.0007	0.161	0.162	0.114	0.0130	0.0007	2.314 0.00138
0.01305	0.2563	0.2559	0.0004	0.127	0.127	0.080	0.0064	0.0004	2.138 0.00269
0.02152	0.3000	0.3000	0.0009	0.170	0.170	0.104	0.0108	0.0009	2.425 0.00269
0.02164	0.2493	0.2480	0.0003	0.217	0.218	0.139	0.0193	0.0013	2.355 0.00471
0.02186	0.2017	0.1985	0.0032	0.271	0.275	0.103	0.0372	0.0071	3.628 0.01461
0.02193	0.1589	0.1547	0.0042	0.346	0.355	0.277	0.0767	0.0030	2.781 0.02343
0.02213	0.1075	0.0880	0.0026	0.515	0.620	0.501	0.2810	0.0120	3.892
0.03287	0.1345	0.1102	0.0243	0.611	0.746	0.532	0.2830	0.0150	3.205 0.06967
0.03283	0.1556	0.1420	0.0136	0.527	0.572	0.427	0.1823	0.0108	3.226 0.08070
0.03265	0.2079	0.2025	0.0054	0.393	0.403	0.275	0.0756	0.0050	2.772 0.02347
0.03243	0.2517	0.2477	0.0040	0.322	0.327	0.205	0.0420	0.0038	3.102 0.01469
0.03221	0.3039	0.3000	0.0039	0.265	0.268	0.153	0.0234	0.0038	4.608 0.01223

Diameter=0.0000 aantal metingen=19 vervolg midden

Q	h1	h2	A	v1	v2	Fr	$\frac{V^2}{gh}$	dH	Cd	$\frac{A-A^2}{h}$
0.04496	0.1620	0.1345	0.0285	0.594	0.836	0.550	0.3025	0.0164	2.742 0.15875	
0.04481	0.2000	0.1880	0.0111	0.560	0.593	0.400	0.1600	0.0092	2.478 0.05080	
0.04466	0.2616	0.2555	0.0061	0.427	0.437	0.266	0.0708	0.0057	2.674 0.02131	
0.04417	0.3071	0.3025	0.0046	0.360	0.365	0.207	0.0428	0.0044	2.945 0.01392	
0.05814	0.1904	0.1555	0.0249	0.763	0.935	0.550	0.3125	0.0201	2.740 0.07430	
0.05803	0.2074	0.1875	0.0199	0.600	0.774	0.400	0.2401	0.0143	2.434 0.08935	
0.05765	0.2589	0.2485	0.0104	0.557	0.580	0.340	0.1218	0.0091	2.406 0.03696	
0.05721	0.3027	0.2955	0.0072	0.472	0.484	0.274	0.0751	0.0066	2.563 0.02199	
0.07084	0.2527	0.2415	0.0072	0.685	0.733	0.430	0.1849	0.0137	2.462 0.06199	
0.07054	0.3004	0.2905	0.0099	0.570	0.580	0.327	0.1069	0.0088	2.322 0.02950	

Bijlage 3 b

```
list
10.      DECLARE Q(24),h1(24),e(24);
20.      opn:   GET LIST(n,d);
30.      DO i=1 TO n;
40.      GET LIST(Q(i),h1(i),e(i));
50.      END ;
60.      g=9.812;
70.      b=.4;
80.      PUT IMAGE(d,n)(uit1);
85.      PUT LIST(' ');
90.      uit1:  IMAGE;
diameter=---- aantal metingen=-
100.     ;
110.     PUT LIST(' ');
120.     PUT LIST(' Qd      h1      dh      v1      Fr      dH      dh/h1      dH/h1      h1/d      Cd');
130.     PUT LIST(' ');
140.     DO i=1 TO n;
150.     hv=h1(i);
155.     dh=e(i)*.001;
157.     ha=hv-dh;
160.     ;
170.     Qd=Q(i);
180.     v1=Qd/(b*hv);
190.     v2=Qd/(b*ha);
200.     F=v1/SQRT(g*hv);
210.     dH=dh+(v1*v1-v2*v2)/(2*g);
220.     K=(hv*hv-ha*ha)*.5*g*b;
230.     K=K+(v1*v1*hv-v2*v2*ha)*b;
240.     Cd=2*K*B*B*hv/(Qd*Qd*d);
242.     D1=dh/hv;
244.     D2=dH/hv;
246.     V=hv/d;
250.     PUT IMAGE(Qd,hv,dh,v1,F,dH,D1,D2,V,Cd)(uit);
260.     uit:   IMAGE;
----- -----
270.     END ;
280.     PUT LIST(' ');
290.     PUT LIST(' ');
300.     PUT LIST(' Theoretische benadering');
310.     PUT LIST(' ');
311.     PUT LIST(' Qd      h1      dh      v1      Fr      dH      dh/h1      dH/h1      h1/d      Re');
312.     PUT LIST(' ');
320.     DO i=1 TO n;
330.     hv=h1(i);
340.     Qd=Q(i);
350.     Re=Qd/((b+2*hv)*1.02*.000001);
360.     IF Re<10000 THEN Cd=1; ELSE Cd=1.18;
370.     v1=Qd/(b*hv);
380.     F=v1/SQRT(g*hv);
390.     G1=-.5*g*b*hv*hv*hv;
400.     G1=G1+(.5*g*b*hv*hv-.5*Cd*v1*v1*hv*d+Qd*Qd/(hv*b))*hv;
410.     G1=G1-Qd*Qd/b;
420.     h=hv-.03;
430.     G2=-.5*g*b*h*h*h;
440.     G2=G2+(.5*g*b*hv*hv-.5*Cd*v1*v1*hv*d+Qd*Qd/(hv*b))*h;
450.     G2=G2-Qd*Qd/b;
460.     hier:  x=(hv*G2-h*G1)/(G2-G1);
470.     Gx=-.5*g*b*x*x*x;
480.     Gx=Gx+(.5*g*b*hv*hv-.5*Cd*v1*v1*hv*d+Qd*Qd/(hv*b))*x;
490.     Gx=Gx-Qd*Qd/b;
500.     Gx1=-.5*g*b*(x-5*.00001)*(x-5*.00001)*(x-5*.00001);
510.     Gx1=Gx1+(.5*g*b*hv*hv-.5*Cd*v1*v1*hv*d+Qd*Qd/(hv*b))*(x-.00005);
520.     Gx1=Gx1-Qd*Qd/b;
530.     Gx2=-.5*g*b*(x+5*.00001)*(x+5*.00001)*(x+5*.00001);
540.     Gx2=Gx2+(.5*g*b*hv*hv-.5*Cd*v1*v1*hv*d+Qd*Qd/(hv*b))*(x+.00005);
550.     Gx2=Gx2-Qd*Qd/b;
560.     IF Gx2*Gx1<0 THEN GO TO daar;
570.     IF Gx<0 THEN hv=x; ELSE h=x;
580.     IF Gx<0 THEN G1=Gx; ELSE G2=Gx;
590.     GO TO hier;
600.     daar:  v2=Qd/(b*x);
610.     dH=hv-x+(v1*v1-v2*v2)/(2*g);
612.     dh=hv-x;
614.     D1=dh/hv;
616.     D2=dH/hv;
618.     V=hv/d;
620.     PUT IMAGE(Qd,hv,dh,v1,F,dH,D1,D2,V,Re)(uit3);
630.     uit3:  IMAGE;
----- -----
640.     END ;
650.     GO TO opn;
```

```

list
10.      DECLARE Q(24),h1(24),h2(24);
20.      opn:   GET LIST(n,d);
30.          DO i=1 TO n;
40.              GET LIST(Q(i),h1(i),h2(i));
50.          END ;
60.          g=.812;
70.          b=.4;
80.          PUT IMAGE(d,n)(uit1);
90.      uit1:  IMAGE;
diameter=--.---- aantal metingen=--
100.      ;
110.      PUT LIST(' ');
120.      PUT LIST(' ')           h1          h2          v1          v2          Fr
130.      PUT LIST(' ');
140.      DO i=1 TO n;
150.          hv=h1(i);
160.          ha=h2(i);
170.          Qd=Q(i);
180.          v1=Qd/(b*hv);
190.          v2=Qd/(b*ha);
200.          F=v1/SQRT(g*hv);
210.          dH=hv-ha+(v1*v1-v2*v2)/(2*g);
220.          K=(hv*hv-ha*ha)*.5*g*b;
230.          K=K+(v1*v1*hv-v2*v2*ha)*b;
240.          Cd=2*K*b*b*hv/(Qd*Qd*d);
250.          PUT IMAGE(Qd,hv,ha,v1,v2,F,dH,Cd)(uit);
260.      uit:   IMAGE;
----- ----- ----- ----- ----- ----- -----
270.      END ;

```

programma voor de berekening in bijlage 1

